

Теорія репульсіоннихъ моторовъ.

Настоящая статья представляетъ попытку дать теорію репульсіоннаго мотора съ точки зрењія поперечного поля, создаваемаго роторомъ. Подобное разложение вращающагося поля, аналогичное разложению Potier, Gorges'a и Sumec'a въ однофазномъ асинхронномъ моторѣ, представляеть, по мнѣнію автора, большія преимущества передъ разложениемъ обмотки статора, въ смыслѣ большей ясности процесса и удобства постоянныхъ, и имѣеть, какъ ему кажется, не одинъ только математической смыслъ.

Круговые діаграммы, дающія такую рельефную картину свойствъ мотсра и предуказанія для конструктора, получили послѣ известной статьи Ossan'a широкое распространеніе; поэтому настоящая статья посвящена собственно полученню и изслѣдованію круговой діаграммы репульсіоннаго мотора, охватывая вмѣстѣ съ тѣмъ всѣ его свойства, за исключениемъ коммутаціи, которой авторъ надѣется посвятить слѣдующую статью. При получениіе круговой діаграммы принять во вниманіе сдвигъ фазъ между намагничивающимъ токомъ и магнитнымъ потокомъ; большая точность діаграммы и возможность учета потерь въ желѣзѣ какъ результатъ этого, искупаютъ, по мнѣнію автора, сложность формулъ.

Въ дальнѣйшемъ приняты слѣдующія обозначенія:

P_1 напряженіе на клеммахъ статора,

$E_{cm} = E_1$ — электродвижущая сила пульсациіи въ обмоткѣ статора.

$E_2 = E_{nc_1}$ " " " продольной катушкѣ ротора отъ продольнаго потока,

E_{nc_2} — электродв. сила пульсациіи въ поперечной катушкѣ ротора отъ поперечнаго поля,

E_{vr_1} эллекдродв. сила вращенія продольной катушки ротора въ поперечномъ полѣ,

E_{vr_2} элекдродв. сила вращенія поперечной катушки ротора въ продольномъ полѣ,

Φ_{nd} магнитный потокъ продольный,

Φ_{np} " поперечный,

B_1, B_{nd}, B_{np}, B_2 — наибольшія индукції: общаго продольнаго, попе-
речнаго и результирующаго полей ротора,

J_1, J_2, Ja — первичный, вторичный и намагничивающій токи,

r_1, x_1 и $z_1 = r_1 - jx_1$ — омическое, реактивное и кажущееся сопроти-
вленія обмотки статора,

r_2, x_2 и $z_2 = r_2 - jx_2$ — омическое, реактивное и кажущееся сопроти-
вленія обмотки ротора,

g_a, b_a и $y_a = g_a + jb_a$ — проводимость ваттнаго, безваттнаго и кажу-
щаяся проводимость тока возбужденія,

g_{np}, b_{np} и $y_{np} = g_{np} + jb_{np}$ — проводимость ваттнаго, безваттнаго и
кажущаяся проводимость поперечной катушки ротора,

$x_{nd}, x_{np} = \frac{1}{b_{np}}$ — реакція продольной, поперечной катушки ротора,

$x_3 = x_{np} \cos \gamma, x_4 = x_{nd} \cos \gamma, x_s = x_1 + x'_2, x_{\Pi} = x_3' + x_2', x_{III} = x_4' + x_2' + x_2'$,

$W_1 = P_1 J_1 \cos \varphi_1$ — мощность, получаемая статоромъ,

W_a — мощность, получаемая роторомъ,

W_2 — „ отдаваемая роторомъ,

$V_1 = J_1^2 r_1$ — омическая потеря статора,

$V_2 = J_2^2 r_2$ — „ „ „ ротора,

$V_{a,1}, V_{a,2}$ потери въ желѣзѣ отъ продольнаго и поперечнаго полей,

φ_1 — уголъ сдвига фазъ между P_1 и J_1 ,

ψ — „ „ „ „ E_1 и J_1 ,

ψ_2, v — „ „ „ „ E_2 и J_2 ,

γ — „ „ „ „ b_a и y_a, b_{np} и y_{np} ,

ψ_1 — „ „ „ „ r_1 и z_1 ,

τ — полюсный шагъ,

λ — уголъ сдвига щетокъ отъ продольной оси мотора,

β_1 — отношение ширины обмотки статора къ τ ,

β_2 — отношение ширины обмотки ротора, находящейся въ предѣлахъ
угла $180 - 2\lambda$ къ τ ,

$\beta_3 = 1 - \beta_2$ — отношение ширины обмотки ротора, находящейся въ
предѣлахъ угла 2λ къ τ ,

β_4 — отношение ширины обмотки ротора, находящейся въ предѣлахъ
угла $180 - \lambda$ къ τ ,

$c_1 = \frac{E_{\theta p,2} \sin \chi_{hr}}{E_{nc,1}}$ — отношение электродв. силы вращенія $E_{\theta p,2}$ при
синхронной скорости къ электродв. силѣ пульсациіи $E_{nc,1}$,

$c_2 = \frac{E_{\theta p,1} \sin \chi_{hr}}{E_{nc,2}}$ — отношение электродв. силы вращенія $E_{\theta p,1}$ при
синхронной скорости къ электродв. силѣ пульсациіи $E_{nc,2}$,

ω_1 — число периодовъ первичной цѣпи,

n_2 — число оборотовъ ротора въ минуту,

$\omega_2 = \frac{n_2}{60}$ — число периодовъ вращенія,

$v = \frac{\omega_1}{\omega_2}$ — отношеніе чиселъ периодовъ пульсациі и вращенія,

$u = \frac{E_1}{E_2}$ — коэффиціентъ трансформаціи,

N_1, N_2, N_{nd}, N_{np} — число стержней статора, ротора, его продольной и поперечной катушекъ,

$v = \frac{N_2}{2\tau}$ — удѣльное число стержней,

$w_2 = \frac{N_1}{2}$ — число витковъ статора,

$w_2 = \frac{N_2}{2}$ — число витковъ ротора,

M_{nd} — моментъ продольного поля съ поперечной катушкой,

M_{np} — „ поперечного поля съ продольной катушкой,

M — результирующій моментъ,

D — диаметръ ротора,

l — длина ротора,

ρ, ξ_0, η_0 съ соотвѣтствующими значками радиусъ и координаты центра различныхъ окружностей,

R, X, Z, Y съ соотвѣтствующими значками дѣйствующія сопротивленіе, реакція, кажущееся сопротивленіе и кажущаяся проводимость различныхъ цѣпей,

m, n, p, q — масштабы круговъ K_p''' , K_p'' , K_p' и K_p .

Буква со значкомъ' означаетъ соотвѣтствующую величину, приведенную къ первичной цѣпи; напримѣръ J_2' — токъ ротора, приведенный къ первичной цѣпи. Буква съ точкой внизу означаетъ величину въ символическомъ обозначеніи.

Всѣ формулы относятся къ двуполюсному мотору, ибо перевести ихъ на многополюсный не представляетъ никакого труда.

Здѣсь принято допущеніе пропорціональности поперечнаго потока Φ_{np} вторичному току J_2 , а также имѣть мѣсто обычныя допущенія: синусоидальности тока, распределенія обмотки въ видѣ равнотріанаго слоя и пр..

Разсмотримъ якорь мотора постояннаго тока (рис. 1-а), по которому черезъ щетки течетъ токъ отъ посторонняго источника въ направленіи, указанномъ на рисункѣ. Этотъ якорь создаетъ магнитное поле Φ въ направленіи $a\bar{b}$. Разложимъ мысленно его обмотки на двѣ катушки $a\bar{h}f-e\bar{g}b$, назовемъ ее продольной, и $ace-fdb$, которую назовемъ поперечной. Соответственно этому и треугольное поле ротора $a\bar{b}\bar{c}$ (рис. 1-б) разложится на два трапециoidalныхъ: продольное Φ_{nd} (defg рис. 1-б) съ направленіемъ $c\bar{d}$, создаваемое продольной катушкой, и поперечное Φ_{np} (liklmn рис. 1-б) съ направленіемъ hg , создаваемое поперечной катушкой. Поле Φ_{nd} съ поперечной катушкой даетъ моментъ $M_{nd} = k \cdot B_{nd} \cdot N_{np} \cdot J_2$ (гдѣ k некоторая постоянная), направленный противъ часовой стрѣлки, поле же Φ_{np} съ продольной катушкой моментъ $M_{np} = k \cdot B_{np} \cdot N_{nd} \cdot I_2$, направленный по часовой стрѣлкѣ. Не трудно видѣть, что, пока проницаемость пространства, окружающаго якорь, одинакова по всѣмъ направленіямъ, эти моменты взаимно уравновѣшиваются, такъ какъ $\frac{B_{nd}}{B_{np}} = \frac{N_{nd}}{N_{np}}$, и якорь находится въ покое, но стоитъ лишь одной изъ этихъ катушекъ противопоставить желѣзныя массы, напримѣръ въ видѣ полюсовъ, какъ это показано пунктиромъ на рис. 1-а, какъ B_{nd} увеличивается, M_{nd} становится

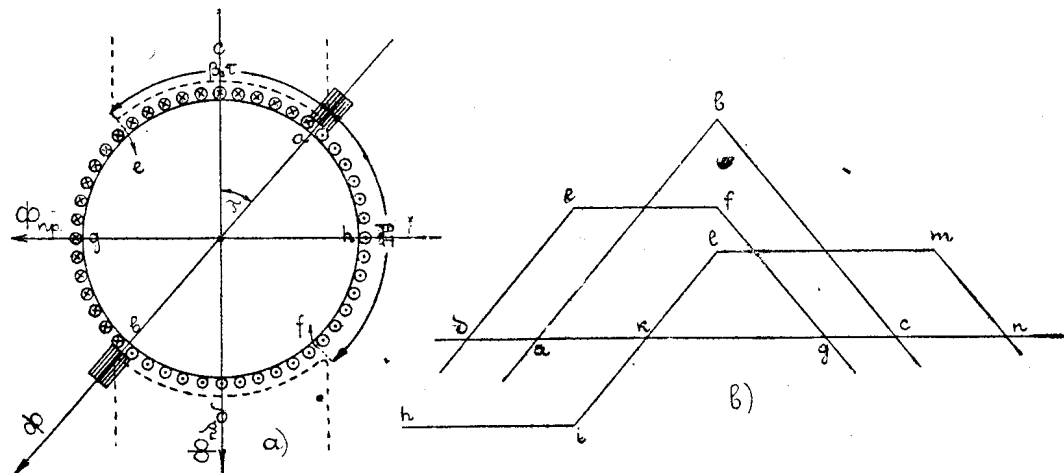


Рис. 1.

больше M_{np} , и якорь начинаетъ вращаться въ сторону, противоположную движенію часовой стрѣлки (неупотребляемый реактивный моторъ постояннаго тока). Если на этихъ полюсахъ нанесена обмотка, создающая поле, направленное противоположно Φ_{nd} , то моменты M_{nd} и M_{np} дѣйствуютъ уже въ одну сторону, и моторъ начинаетъ вращаться по направленію часовой стрѣлки (обыкновенный моторъ постояннаго тока). Такъ какъ въ подобныхъ моторахъ противъ поперечной ка-

тушки нѣтъ вблизи желѣзныхъ массъ, то моментъ M_{pr} здѣсь очень малъ по сравненію съ M_{nd} , и такимъ образомъ эти двигатели, а, слѣдовательно, и всѣ моторы постояннаго тока относятся къ классу моторовъ съ продольнымъ полемъ.

Однофазные коллекторные двигатели имѣютъ также представителя этого класса въ лицѣ послѣдовательнаго мотора. Но здѣсь существуетъ и другой классъ двигателей, у которыхъ доминирующую роль играетъ моментъ не поперечной катушки въ продольномъ полѣ, а, наоборотъ, продольной катушки въ поперечномъ полѣ; это такъ называемые репульсіонные двигатели. Сюда относятся моторъ Томсона (рис. 2), моторъ Дери (рис. 3) и моторъ Аткинсона (рис. 4).

Эти двигатели выполняются обыкновенно съ равномѣрнымъ междужелѣзнымъ пространствомъ и распределенной обмоткой. Обмотка ротора коротко замкнута подвижными щетками (двигатели Томсона и Аткинсона) или парой неподвижныхъ и парой подвижныхъ (двигатель

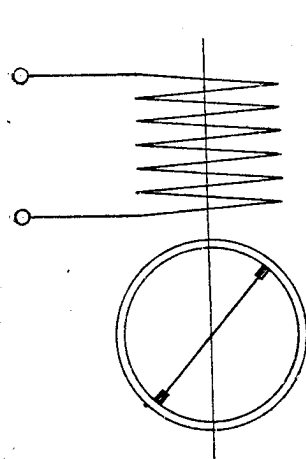


Рис. 2.

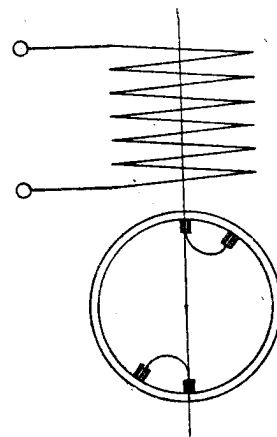


Рис. 3.

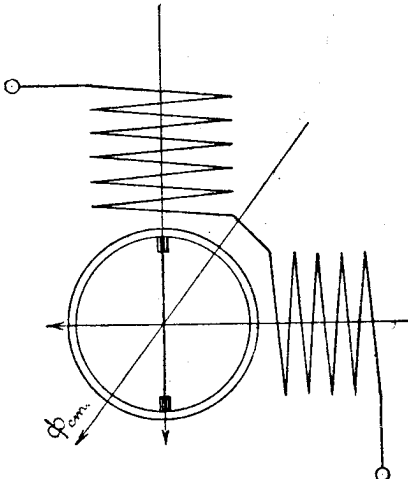


Рис. 4.

Дери). Обмотка статора присоединяется непосредственно къ єти и Дери). Обмотка статора присоединяется непосредственно къ єти и представляетъ первичную обмотку трансформатора, вторичную обмотку которого представляетъ продольная катушка ротора. Въ моторѣ Томсона она ($ahf-egb$) получается, какъ коаксальная съ катушкой статора отъ точки прикосновенія щетокъ (рис. 1-а) и содержитъ $\beta_2 N_2$ стержней; въ моторѣ Аткинсона подобнымъ же образомъ по отношенію къ результирующему полю Φ_{st} (рис. 4) изъ полей обѣихъ обмотокъ статора. Поперечная катушка въ этихъ моторахъ является дополнениемъ продольной и содержитъ $\beta_3 N_2$ стержней. Въ моторѣ Дери обмотка ротора раскладывается также на продольную и поперечную катушки, но только болѣе сложнымъ способомъ. Не трудно видѣть, что на частяхъ pr и qr (рис. 5-а) тока нѣтъ, поэтому мы можемъ

катушку $psr - qtn$ разложить на продольную, занимающую всю окружность и имѣющую на пространствѣ ps и tq удѣльное число стержней $\nu = \frac{N_2}{2\tau}$ и на пространствѣ tnp и qrs удѣльное число стержней $\nu = \frac{N_2}{2\tau}$, и поперечную, занимающую пространство tnp и qrs и имѣющую удѣльное число стержней $\nu = \frac{N_2}{2\tau}$. Такъ какъ на частяхъ pr и qr токи въ продольной и поперечной катушкахъ направлены въ противоположныя стороны, то при наложеніи, они даютъ катушку $psr - qtn$ съ удѣльнымъ числомъ стержней $\nu = \frac{N_2}{2\tau}$. Соответственно съ этимъ

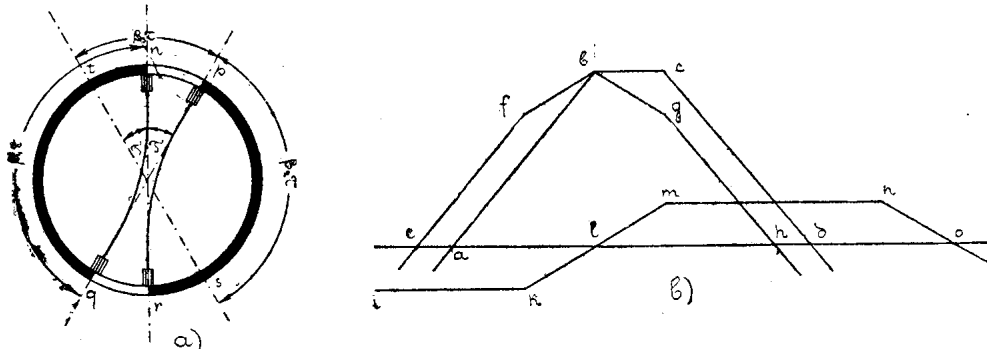


Рис. 5.

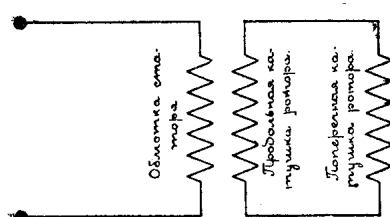


Рис. 6.

трапецидальное поле ротора (рис. 5-б) $abcd$ раскладывается на продольное шалаткообразное $efbgh$ и поперечное трапецидальное $iklmno$.

Во всѣхъ этихъ моторахъ продольная и поперечная катушки представляютъ изъ себя замкнутую цѣль (рис. 6).

2. Діаграмма напряженьй.

Разсмотримъ электродв. силы, индуктирующіяся въ этихъ моторахъ. Пока моторъ стоитъ, въ продольной катушкѣ ротора индуктируется только электродв. сила пульсациіи продольного потока $\Phi_{nd} - E_{nc_1}$, которая уравновѣшивается электродв. силой пульсациіи поперечнаго потока Φ_{nr} въ поперечной катушкѣ E_{nc_2} , паденiemъ напряженія отъ реакціи $-J_2 x_2$ и отъ омическаго сопротивленія $-J_2 r_2$, всей вторичной цѣпи. Когда роторъ находится въ движеніи, сюда присоединяются электродв. сила вращенія поперечной катушки въ продольномъ полѣ $-E_{er_2}$ и продольной катушки въ поперечномъ полѣ $-E_{er_1}$.

Пусть $O\Phi_{nd}$ (рис. 7) представляетъ векторъ продольнаго магнитнаго потока, электродв. сила пульсациі E_{nc_1} отстаетъ отъ него на уголъ въ 90^0 и представляется векторомъ Oa ; электродв. сила вращенія— E_{zp_2} въ фазѣ съ $O\Phi_{nd}$ —векторомъ ab . Пусть далѣе $O\Phi_{np}$ векторъ попечнаго потока, тогда векторъ вторичнаго тока OJ_2 будетъ опережать его на уголъ $\gamma = \arctg \frac{g_{np}}{b_{np}}$, где g_{np} проводимость ваттнаго, а b_{np} —безваттнаго токовъ попечной катушки, и діаграмма вторичной цѣпи заканчивается слѣдующими четырьмя векторами: 1) bc —электродв. силы пульсациі $E_{nc_2} = J_2 \cos \gamma$, $x_{np} = \frac{J_2 \cos \gamma}{b_{np}}$ подъ угломъ въ 90^0 къ $O\Phi_{np}$, 2) Oe —электродв. силы вращенія E_{zp_1} въ фазѣ съ $O\Phi_{np}$, 3) cd —паденія напряженія отъ реакціи разсѣянія въ квадратурѣ съ токомъ и 4) ed паденія напряженія отъ омическаго сопротивленія въ фазѣ съ токомъ.

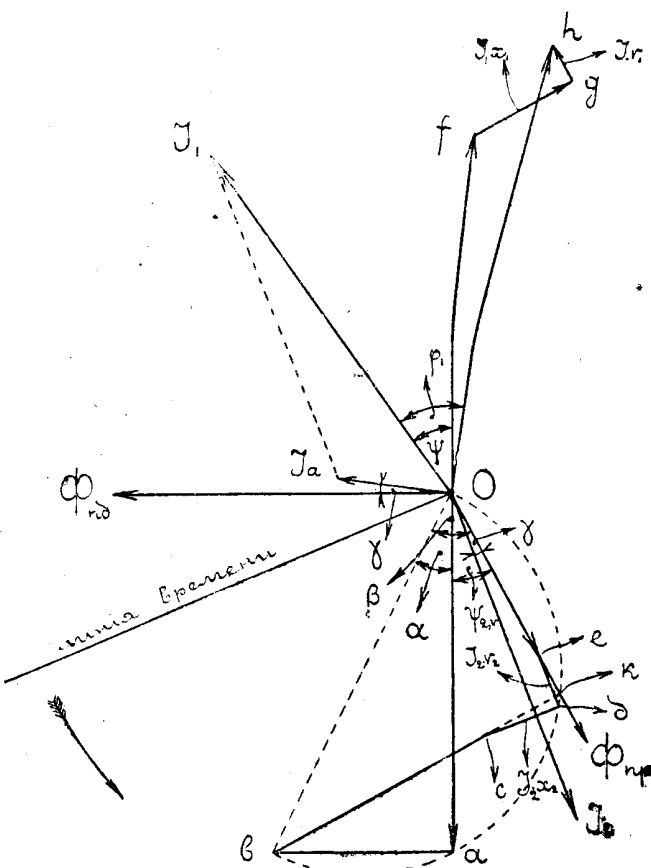


Рис. 7.

паденія напряженія отъ реакціи разсѣянія въ квадратурѣ съ токомъ и 4) ed паденія напряженія отъ омическаго сопротивленія въ фазѣ съ токомъ.

Діаграмма статора ничѣмъ не отличается отъ діаграммы трансформатора. Векторъ намагничивающагося тока OJ_a опережаетъ магнит

ный потокъ на уголъ $\gamma = \arctg \frac{g_a}{b_a}$ (при чмъ, конечно, $\frac{g_a}{b_a} = \frac{g_{np}}{b_{np}}$), векторъ первичнаго тока OJ является геометрической суммой OJ_2 и OJ_a . Векторъ напряженія на клеммахъ OP_1 складывается изъ: 1) вектора электродв. силы пульсациі OE_1 , 2) паденія напряженія отъ реакціи первичнаго разслѣданія $J_1 x_1 - fg$ и 3) паденія напряженія отъ омическаго сопротивленія $J_1 r_1 - gh$.

При пускѣ въ ходъ, такъ какъ $Oe = 0$, векторъ OJ_2 , составляеть небольшой уголъ съ векторомъ $O\Phi_{nd}$, моменты M_{nd} и M_{np} складываются и оба имѣютъ значительную величину, такъ какъ OJ_2 при пускѣ въ ходъ значительно болыше нормального. Поэтому репульсіонные моторы берутъ съ мѣста съ большимъ моментомъ. При нормальной скорости M_{nd} очень малъ, т. к. OJ_2 составляеть съ $O\Phi_{nd}$ уголъ близкій къ $\frac{\pi}{2}$, при очень большихъ скоростяхъ OJ_2 составляеть опять небольшие углы съ $O\Phi_{nd}$, но моментъ M_{nd} , имѣн здѣсь знакъ обратный знаку M_{np} , все болѣе и болѣе уменьшаетъ послѣдній по мѣрѣ возрастанія скорости. Такимъ образомъ въ репульсіонныхъ моторахъ собственно рабочимъ моментомъ является момѣнтъ продольной катушки въ поперечномъ полѣ.

3 Коэффиціентъ трансформаціи.

Всѣ напряженія, токи и сопротивленія ротора мы будемъ считать приведенными къ первичной цѣпи и отличать ихъ значкомъ'. Такъ

$$E'_2 = E_2 \cdot u; J'_2 = \frac{J_2}{u}; x'_2 = x_2 u^2; r'_2 = r_2 u^2,$$

гдѣ u коэффиціентъ трансформаціи, къ вычисленію котораго мы и обращаемся.

Общее продольное поле, являясь геометрической суммой фиктивныхъ полей статора и ротора, имѣть довольно сложную форму, менящуюся притомъ въ зависимости отъ силы и фазы первичнаго и вторичнаго токовъ, поэтому изслѣданіе съ точной формой поля чрезвычайно затруднительно. Вмѣстѣ съ тѣмъ благодаря вліянію насыщенія желѣза оно совсѣмъ не такъ точно, какъ это можетъ казаться на первый взглядъ. Поэтому, мы не дѣлая большой ошибки, но выигрывая чрезвычайно въ простотѣ, можемъ допустить, что это поле имѣетъ синусоидальнуу форму.

На рис. 8 синусоида abc представляетъ общее продольное пульсирующее во времени поле, обмотка статора представлена разверну-

той въ видѣ слоя rq , заполненного на части $\beta_1 \tau$; слой rs въ моторахъ Томсона и Аткинсона на части $gh = \beta_2 \tau$ занимаетъ продольная катушка, а на части $fg = \beta_3 \tau = (1 - \beta_2) \tau$ поперечная съ одинаковымъ удѣльнымъ числомъ стержней. Для мотора же Дери продольная катушка занимаетъ весь слой rs , на части $gh = \beta_2 \tau$ съ удѣльнымъ числомъ стержней $v = \frac{N_2}{2\tau}$ и на частяхъ ig и hk равныхъ $\frac{\beta_3 \tau}{2} =$
 $= (1 - \beta_2) \frac{\tau}{2}$ съ удѣльнымъ числомъ стержней $v = \frac{N_2}{4\tau}$, а поперечная катушка часть $fg = \beta_3 \tau = (1 - \beta_2) \tau$ съ удѣльнымъ числомъ стержней $v = \frac{N_2}{4\tau}$.

Магнитный потокъ $\Phi_x = B_x \cdot d \cdot x \cdot l$ сдѣлъенъ съ $2 \cdot v \cdot x$ стержнями статора или ротора и индуктируетъ въ ихъ обмоткахъ электродв. силу

$$dE_{nc} = 4,44 \cdot \infty_1 \cdot 2 \cdot v \cdot x \cdot B_x \cdot l \cdot d \cdot x \cdot 10^{-8}$$

Принимая во вниманіе противоположную сторону катушки и обозначая черезъ w_{ud} — удѣльное число витковъ, имѣемъ

$$E_{nc} = \int_0^{\frac{\pi}{2}} 4,44 \cdot \infty_1 \cdot 4 \cdot w_{ud} \cdot x \cdot B_x \cdot l \cdot dx \cdot 10^{-8}$$

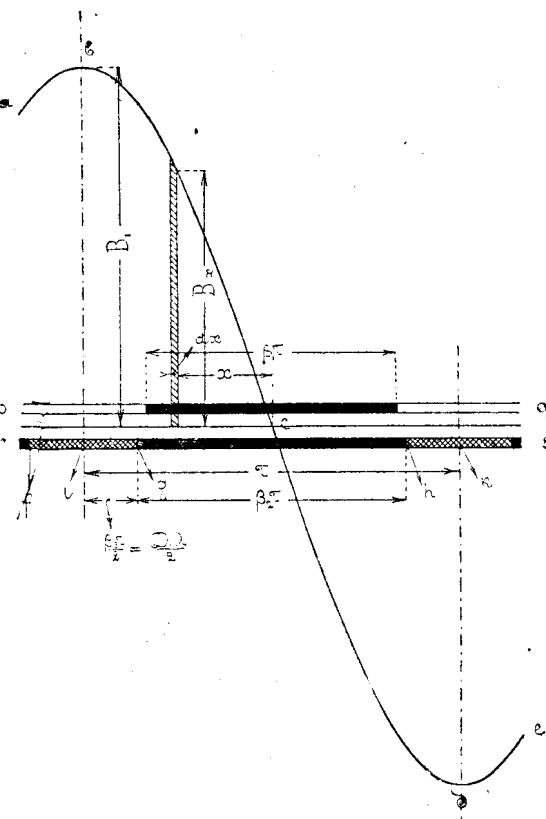


Рис. 8.

Примѣнимъ этотъ интегралъ къ опредѣленію электродв. силы въ продольной катушкѣ мотора Дери. Здѣсь $x = \frac{D}{2} \alpha$ и $B_x = B_{nd} \sin \alpha$, гдѣ $\frac{D}{2}$ — радиусъ якоря, а α уголъ между поперечной осью мотора и рассматриваемой точкой. Поэтому

$$E_{nd} = 10^{-8} 4,44 \infty_1 4 \frac{D^2}{4} B_1 l \left[\frac{w_2}{\tau} \cdot \int_0^{\frac{\pi}{2}-\lambda} \alpha \cdot \sin \alpha \cdot d \alpha + \frac{w_2}{\tau} \cdot \left(\frac{\pi}{2} - \lambda \right) \cdot \int_{\frac{\pi}{2}-\lambda}^{\frac{\pi}{2}} \sin \alpha \cdot d \alpha + \frac{w_2}{2\tau} \cdot \int_{\frac{\pi}{2}-\lambda}^{\frac{\pi}{2}} \left(\alpha - \frac{\pi}{2} + \lambda \right) \sin \alpha \cdot d \alpha \right] = 4,44 \cdot \infty_1 B_1 D^2 l \frac{w_2}{2\tau} (1 + \cos \lambda) 10^{-8}$$

гдѣ λ уголъ сдвига шетокъ отъ продольной оси.

Для моторовъ Томсона и Аткинсона третій интегралъ равенъ нулю и электродв. сила пульсациіи продольного поля

$$E_{nd} = 4,44 \cdot \infty_1 \cdot D^2 l \frac{w_2}{\tau} B_1 \cos \lambda \cdot 10^{-8}.$$

Подобнымъ же образомъ электродв. сила пульсациіи продольнаго поля въ обмоткѣ статора для всѣхъ моторовъ;

$$E_{cm} = 4,44 \cdot \infty_1 \cdot D^2 \cdot l \cdot \frac{w_1}{\beta_1 \tau} B_1 \sin \frac{\beta_1 \pi}{2} \cdot 10^{-8}.$$

Такъ что коэффиціентъ трансформаціи для мотора Дери

$$u = \frac{E_{cm}}{E_{nd}} = \frac{2 \sin \frac{\beta_1 \pi}{2}}{\beta_1 (1 + \cos \lambda)} \cdot \frac{w_1}{w_2}, \quad (1-a)$$

а для моторовъ Томсона и Аткинсона

$$u = \frac{\sin \frac{\beta_1 \pi}{2}}{\beta_1 \cos \lambda} \cdot \frac{w_1}{w_2}. \quad (1-b)$$

4. Электродвижущія силы и реакціи катушекъ мотора

Какъ мы видѣли выше, поле ротора въ моторѣ Дери представляется трапециoidalнымъ, а въ моторахъ Томсона и Аткинсона треугольнымъ.

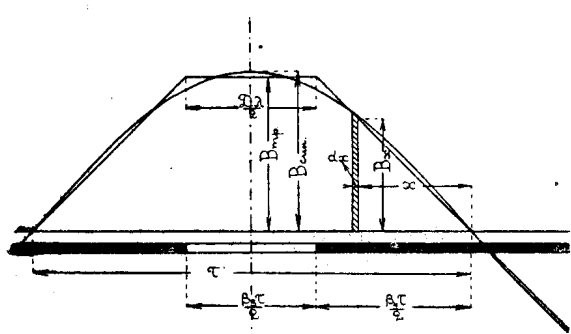


Рис. 9.

Какъ въ томъ такъ и въ другомъ случаѣ мы замѣнимъ его (рис. 9) синусоидальнымъ, которое разложимъ на два составляющихъ: по направлению продольной оси мотора, дающее вмѣстѣ съ полемъ статора общее поле мотора, и 2) по направлению поперечной—поперечное поле. Этую замѣну

мы произведемъ съ такимъ расчетомъ, чтобы электродв. сила, индуцируемая синусоидальнымъ полемъ въ обмоткѣ ротора, была равна электродв. силѣ отъ трапециoidalнаго или треугольнаго.

Электродвиг. сила отъ трапециоидального поля (см. рис. 9) опредѣляется:

$$\begin{aligned} E_{mp} &= 4,44 \cdot \infty_1 \cdot l \cdot 4 \cdot 10^8 \left\{ \int_0^{\frac{\beta_4 \tau}{2}} \frac{B_{mp}}{\frac{\beta_4 \tau}{2}} x \cdot dx \cdot \frac{w_2}{\tau} \cdot x + \int_{\frac{\beta_4 \tau}{2}}^{\frac{\pi}{2}} \frac{w_2}{\tau} \cdot \frac{\beta_4 \tau}{2} B_{mp} dx \right\} = \\ &= 4,44 \infty_1 l \cdot w_2 B_{mp} \cdot \tau \beta_4 \left(1 - \frac{2}{3} \beta_4 \right) \cdot 10^8. \end{aligned}$$

Электродв. сила отъ треугольного поля

$$E_{mp} = 4,44 \infty_1 l \cdot 4 \cdot 10^8 \cdot \int_0^{\frac{\pi}{2}} \frac{B_{mp}}{\frac{\pi}{2}} x^2 \cdot dx \cdot \frac{w_2}{\tau} = \frac{4,44}{3} \cdot \infty_1 \cdot l \cdot w_2 B_{mp} \cdot \tau \cdot 10^8.$$

Поэтому изъ условій $E_{sin} = E_{mp}$ для мотора Дери мы имѣемъ наибольшую индукцію при синусоидальномъ полѣ

$$B_{sin} = \frac{\pi^2 \cdot B_{mp} \cdot \left(1 - \frac{2}{3} \beta_4 \right) \beta_4}{4 \cdot \cos \lambda}, \quad (2-a)$$

а для моторовъ Томсона и Аткинсона

$$B_{sin} = \frac{\pi^2}{12} \cdot B_{mp}. \quad (2-b)$$

Электродвижущая сила вращенія поперечной катушки въ продольномъ полѣ для мотора Дери получается (рис. 8)

$$\begin{aligned} E''_{ep} &= \int_{\frac{\beta_2 \tau}{2}}^{\frac{\pi}{2}} B_x v \cdot dl = 2 \pi \cdot D \cdot \frac{n}{60} \cdot 2l \cdot 10^{-8} \cdot \sqrt{\frac{1}{2}} \int_{\frac{\pi}{2}-\lambda}^{\frac{\pi}{2}} \frac{w_2}{2 \tau} \cdot \frac{D}{2} \cdot d \alpha \cdot B_{nd} \sin \alpha = \\ &= \sqrt{2} \cdot \infty_2 \cdot l \cdot w_2 \cdot D \cdot B_{nd} \cdot 10^{-8} \cdot \sin \lambda, \end{aligned}$$

а въ моторахъ Томсона и Аткинсона

$$E''_{sp} = 2 \cdot \pi D \cdot \frac{n}{60} \cdot 2 l \cdot 10^{-8} \cdot \frac{1}{\sqrt{2}} \int_0^{\frac{\pi}{2}} \frac{w_2}{\tau} \cdot \frac{D}{2} \cdot d\alpha \cdot B_{n\theta} \sin \alpha = \\ = 2 \cdot \sqrt{2} \cdot \infty_2 \cdot l \cdot w_2 \cdot D \cdot B_{n\theta} \cdot 10^{-8} \sin \lambda.$$

Отношение этихъ электродвижущихъ силъ вращенія при синхронной скорости къ соответствующимъ электродв. силамъ пульсациі мы обозначимъ черезъ c_1 .

Для мотора Дери оно равно

$$c_1 = \frac{\sqrt{2} \cdot \infty_1 \cdot l \cdot w_2 \cdot D \cdot B_{n\theta} \cdot 10^{-8} \sin \lambda}{4,44 \cdot \infty_1 \cdot B_{n\theta} \cdot D^2 \cdot l \cdot \frac{w_2}{2\tau} \cdot (1 + \cos \lambda) \cdot 10^{-8}} = \frac{\sin \lambda}{1 + \cos \lambda} = \operatorname{tg} \frac{\lambda}{2}, \quad (3-a)$$

а для моторовъ Томсона и Аткинсона

$$c_1 = \frac{\sin \lambda}{\cos \lambda} = \operatorname{tg} \lambda. \quad (3-b)$$

Электродвижущая сила вращенія продольной катушки въ поперечномъ полѣ (рис. 10) для мотора Дери

$$E'_{sp} = 2 \pi D \frac{n}{60} \cdot 2 l \cdot 10^{-8} \cdot \frac{1}{\sqrt{2}} \left[\int_0^{\frac{\pi}{2}} \frac{w_2}{\tau} \cdot \frac{D}{2} d\alpha \cdot B_{np} \cos \alpha + \int_{\frac{\pi}{2}-\lambda}^{\frac{\pi}{2}} \frac{w_2}{2\tau} \cdot \frac{D}{2} d\alpha \cdot B_{np} \cos \alpha \right] \\ = \sqrt{2} \cdot \infty_2 \cdot l \cdot w_2 \cdot D \cdot B_{np} \cdot 10^{-8} (1 + \cos \lambda),$$

а для моторовъ Томсона и Аткинсона

$$E'_{sp} = 2 \sqrt{2} \cdot \infty_2 \cdot l \cdot w_2 \cdot D \cdot B_{np} \cdot 10^{-8} \cos \lambda.$$

Электродвижущая сила пульсациі поперечного поля въ поперечной катушкѣ для мотора Дери

$$E''_{nc} = 4,44 \cdot \infty_1 \cdot D^2 \cdot B_{np} \cdot l \cdot 10^{-8} \frac{w_2}{2\tau} \left(\int_{\frac{\pi}{2}-\lambda}^{\frac{\pi}{2}} \left(\frac{\pi}{2} - \alpha \right) \cos \alpha d\alpha + \lambda \int_{\frac{\pi}{2}-\lambda}^{\frac{\pi}{2}} \cos \alpha d\alpha \right) = \\ = 4,44 \cdot \infty_1 \cdot B_{np} \cdot D^2 \cdot l \cdot \frac{w_2}{2\tau} \cdot \sin \lambda \cdot 10^{-8},$$

а для моторовъ Томсона и Аткинсона

$$E''_{nc} = 4,44 \cdot \infty_1 \cdot B_{np} D^2 \cdot l \frac{w_2}{\tau} \sin \lambda \cdot 10^{-8}.$$

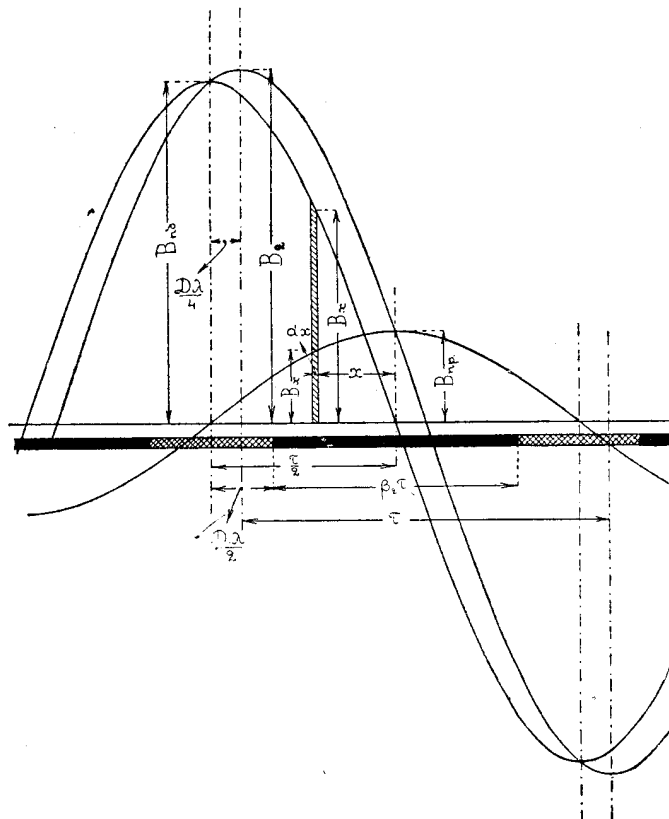


Рис. 10.

Отношение этихъ электродвижущихъ силъ вращенія при синхронной скорости къ соответствующимъ электродв. силамъ пульсаціи мы обозначимъ черезъ c_2 . Для мотора Дери

$$c_2 = \frac{\sqrt{2} \cdot \infty_1 \cdot w_2 \cdot B_{np} \cdot 10^{-8}}{4,44 \cdot \infty_1 \cdot D^2 \cdot l \frac{w_2}{2 \tau} \cdot B_{np} \cdot 10^{-8}} \cdot \frac{1 + \cos \lambda}{\sin \lambda} = \operatorname{ctg} \frac{\lambda}{2}, \quad (4-a)$$

а для моторовъ Томсона и Аткинсона

$$c_2 = \frac{\cos \lambda}{\sin \lambda} = \operatorname{ctg} \lambda. \quad (4-b)$$

Отношение $\frac{c_2}{c_1}$ для мотора Дери

$$\frac{c_2}{c_1} = \operatorname{ctg}^2 \frac{\lambda}{2}, \quad (5-a)$$

а для моторовъ Томсона и Аткинсона

$$\frac{c_2}{c_1} = \operatorname{ctg}^2 \lambda. \quad (5.b)$$

Такимъ образомъ допущеніе синусоидальности полей характеризуется тѣмъ, что при немъ произведеніе $c_2 \cdot c_1 = 1$, при другихъ формахъ полей это условіе отсутствуетъ.

Реакціи. Подъ реакцией продольной и поперечной катушекъ ротора мы будемъ понимать частное отъ дѣленія электродв. силы пульсаций соответствующей синусоидальной составляющей общаго поля ротора на вторичный токъ. При этомъ (рис. 10) очевидно, что въ моторѣ Дери

$$B_{n\delta} = B_2 \cos \frac{\lambda}{2} \text{ и } B_{np} = B_2 \sin \frac{\lambda}{2}, \quad (6.a)$$

а въ моторахъ Томсона и Аткинсона

$$B_{n\delta} = B_2 \cos \lambda \text{ и } B_{np} = B_2 \sin \lambda. \quad (6.b)$$

Слѣдовательно, реакція продольной катушки въ моторѣ Дери

$$x_{n\delta} = \frac{4,44 \cdot \infty_1 l \cdot D^2 \cdot \frac{w_2}{2\tau} B_2 \cos \frac{\lambda}{2} (1 + \cos \lambda) \cdot 10^{-8}}{J_2};$$

подставляя вмѣсто B_2 его значеніе, равное

$$B_2 = 0,4 \pi \frac{w_2 \beta_4}{2 \delta''} J_2 \sqrt{2},$$

(гдѣ δ'' воздушный промежутокъ, замѣщающій магнитное сопротивление цѣпи силовой трубки, который мы будемъ считать одинаковымъ для всѣхъ трубокъ) получаемъ

$$x_{n\delta} = \frac{4 \cdot \infty_1 l \cdot \beta_4 \cdot w_2^2 \cdot \tau \cdot 10^{-9} \cdot \cos \frac{\lambda}{2} (1 + \sin \lambda)}{\delta''}, \quad (7.a)$$

а для моторовъ Томсона и Аткинсона

$$x_{n\delta} = \frac{4,44 \cdot \infty_1 l D^2 \frac{w_2}{\tau} B_2 \cos^2 \lambda \cdot 10^{-8}}{J_2}.$$

или подставляя значение

$$B_2 = 0,4 \cdot \pi \cdot \frac{w_2}{2 \delta''} \cdot J_2 \sqrt{2},$$

имѣемъ

$$x_{nd} = \frac{4 \cdot \infty_1 \cdot l \cdot w_2^2 \tau \cdot 10^{-9} \cos^2 \lambda}{\delta''}. \quad (7 \text{ b})$$

Реакція поперечной катушки для мотора Дери

$$x_{np} = \frac{4 \cdot \infty_1 \cdot l \cdot w_2^2 \tau \cdot 10^{-9}}{\delta''} \sin \frac{\lambda}{2} \cdot \sin \lambda, \quad (8 \text{ a})$$

а для моторовъ Томсона и Аткинсона

$$x_{np} = \frac{4 \cdot \infty_1 \cdot l \cdot w_2^2 \tau \cdot 10^{-9}}{\delta''} \sin^2 \lambda. \quad (8 \text{ b})$$

Отношеніе реакцій продольной къ поперечной для моторовъ Томсона и Аткинсона

$$\frac{x_{nd}}{x_{np}} = \frac{\cos^2 \lambda}{\sin^2 \lambda} = \operatorname{ctg}^2 \lambda,$$

а для мотора Дери

$$\frac{x_{nd}}{x_{np}} = \frac{\cos \frac{\lambda}{2} (1 + \cos \lambda)}{\sin \frac{\lambda}{2} \sin \lambda} = \operatorname{ctg}^2 \frac{\lambda}{2}.$$

Такимъ образомъ для всѣхъ трехъ моторовъ

$$\frac{x_{nd}}{x_{np}} = \frac{c_1}{c_2}. \quad (9)$$

Можно показать, что подобное соотношеніе между реакціями x_{nd} и x_{np} существуетъ и при нѣкоторыхъ другихъ формахъ полей, поэтому въ дальнѣйшемъ $\frac{c_2}{c_1}$ ради общности не соединено въ одну постоянную.

5. Дѣйствующее сопротивленіе, дѣйствующая реакція цѣпи ротора и функциональная связь между ними.

Изъ треугольника $O b k$ (рис. 7) мы получаемъ вторичный токъ

$$J_2 = \frac{\sqrt{E_2^2 + (E_2 c_1 v)^2}}{\sqrt{(x_{np} \cos \gamma v c_2 + r_2 \cos \gamma - x_2 \sin \gamma)^2 + (x_{np} \cos \gamma + x_2 \cos \gamma + r_2 \sin \gamma)^2}}$$

или вводя обозначеніе черезъ F

$$\sqrt{(x_{np} \cos \gamma v c_2 + r_2 \cos \gamma - x_2 \sin \gamma)^2 + (x_{np} \cos \gamma + x_2 \cos \gamma + r_2 \sin \gamma)^2} = F,$$

$$J_2 = \frac{\sqrt{E_2^2 + (E_2 c_1 v)^2}}{F}.$$

Въ дальнѣйшемъ для краткости $x_{np} \cos \gamma$ мы будемъ обозначать че-резъ x_3 , тогда дѣйствующій коэффиціентъ мощности цѣпи ротора

$$\begin{aligned} \cos \psi_{2v} &= \cos(\beta - \alpha - \gamma) = \\ &= \frac{(x_3 v c_2 + r_2 \cos \gamma - x_2 \sin \gamma)(b_{np} - c_1 v g_{np}) + (x_3 + x_2 \cos \gamma + r_2 \sin \gamma)(c_1 v b_{np} + g_{np})}{F \cdot \sqrt{1 + (c_1 v)^2} \cdot \sqrt{g_{np}^2 + b_{np}^2}}, \end{aligned}$$

гдѣ $\angle \alpha = \angle a O b$, $\angle \beta = \angle k O b$ (см. рис. 7).

Такимъ образомъ дѣйствующее сопротивленіе

$$\begin{aligned} R_v &= \frac{E_2 \cos \varphi_2}{J_2} = \\ &= \frac{(c_2 v x_3 + r_2 \cos \gamma - x_2 \sin \gamma)(b_{np} - c_1 v g_{np}) + (x_3 + x_2 \cos \gamma + r_2 \sin \gamma)(c_1 v b_{np} + g_{np})}{(1 + (c_1 v)^2) \sqrt{g_{np}^2 + b_{np}^2}}, \end{aligned}$$

или послѣ раскрытия скобокъ и приведенія подобныхъ членовъ

$$R_v = \frac{1}{1 + (c_1 v)^2} \{r_2 + x_2 c_1 v + v \cos \gamma (c_1 + c_2) x_3 + \sin \gamma x_3 - v^2 c_1 c_2 \sin \gamma x_3\}. \quad (10)$$

Подобнымъ же образомъ

$$\begin{aligned} \sin \psi_{2v} &= \\ &= \frac{(x_3 + x_2 \cos \gamma + r_2 \sin \gamma)(b_{np} - c_1 v g_{np}) - (c_2 v x_3 + r_2 \cos \gamma - x_2 \sin \gamma)(c_1 v b_{np} + g_{np})}{F \cdot \sqrt{1 + (c_1 v)^2} \cdot \sqrt{b_{np}^2 + g_{np}^2}} \end{aligned}$$

и дѣйствующая реакція

$$\begin{aligned} X_v &= \frac{E_2 \sin \varphi_2}{J_2} = \\ &= \frac{(x_3 + x_2 \cos \gamma + r_2 \sin \gamma)(b_{np} - c_1 v g_{np}) - (c_2 v x_3 + r_2 \cos \gamma - x_2 \sin \gamma)(c_1 v b_{np} + g_{np})}{[1 + (c_1 v)^2] \cdot \sqrt{b_{np}^2 + g_{np}^2}}, \end{aligned}$$

а послѣ преобразованій

$$X_v = \frac{1}{1 + (c_1 v)^2} \{x_2 - c_1 v r_2 - x_3 \sin \gamma v (c_1 + c_2) + x_3 \cos \gamma - x_3 \cos \gamma c_1 c_2 v^2\}. \quad (11)$$

Дѣйствующее кажущееся сопротивление

$$Z_v = \sqrt{R_v^2 + X_v^2} = \sqrt{\frac{1}{[1+(c_1 v)^2]^2} \{ (r_2^2 + x_2^2) [1 + (c_1 v)^2] + x_3^2 + \\ + v^2 (c_1 + c_2)^2 x_3^2 + (v^2 c_1 c_2 x_3)^2 + 2 r_2 x_3 v \cos \gamma c_2 - 2 x_2 x_3 v \sin \gamma c_2 + \\ + 2 v^2 r_2 x_3 \sin \gamma c_1^2 + 2 v^2 x_2 x_3 \cos \gamma c_1^2 - 2 v^3 x_2 x_3 \sin \gamma c_1^2 c_2 - 2 v^3 r_2 x_3 \cos \gamma c_1^2 c_2 + \\ + 2 r_2 x_3 \sin \gamma + 2 x_2 x_3 \cos \gamma - 2 v^2 x_3^2 c_1 c_2 \},}$$

по приведеніи подобныхъ членовъ и сокращеній на $1+c_1^2 v^2$

$$Z_v = \sqrt{\frac{1}{1+c_1^2 v^2} \{ r_2^2 + x_2^2 + x_3^2 (1 + c_2^2 v^2) + 2 x_3 [r_2 (\sin \gamma + c_2 v \cos \gamma) + \\ + x_2 (\cos \gamma - c_2 v \sin \gamma)] \}}. \quad (12)$$

При $v = 0$

$$R_{v=0} = r_2 + x_3 \sin \gamma, \quad X_{v=0} = x_2 + x_3 \cos \gamma \quad \text{и}$$

$$Z_{v=0} = \sqrt{r_2^2 + x_2^2 + x_3^2 + 2 x_3 (r_2 \sin \gamma + x_2 \cos \gamma)}$$

при $v = \infty$

$$R_{v=\infty} = -\frac{c_1}{c_2} x_3 \sin \gamma, \quad X_{v=\infty} = -\frac{c_2}{c_1} x_3 \cos \gamma \quad \text{и} \quad Z_{v=0} = -\frac{c_2}{c_1} x_3.$$

Для полученія функциональной связи между R_v и X_v , мы должны изъ обоихъ уравненій (10) и (11) исключить v , для чего представимъ ихъ въ слѣдующемъ видѣ

$$(R_v c_1^2 + c_1 c_2 \sin \gamma x_3) v^2 - [c_1 x_2 + (c_1 + c_2) \cos \gamma x_3] v - (r_2 + \sin \gamma x_3 - R_v) = 0$$

$$\text{и } (X_v c_1^2 + c_1 c_2 \cos \gamma x_3) v^2 + [c_1 r_2 + (c_1 + c_2) \sin \gamma x_3] v - (x_2 + \cos \gamma x_3 - X_v) = 0.$$

Обозначая $R_v c_1^2 + c_1 c_2 \sin \gamma x_3 = A_1$, $c_1 x_2 + (c_1 + c_2) \cos \gamma x_3 = B_1$, $r_2 + \sin \gamma x_3 - R_v = C_1$, $X_v c_1^2 + c_1 c_2 \cos \gamma x_3 = A_2$, $c_1 r_2 + (c_1 + c_2) \sin \gamma x_3 = B_2$, $x_2 + \cos \gamma x_3 - X_v = C_2$ и исключая изъ получившихся такимъ образомъ уравненій v^2 и v , имѣемъ

$$v^2 = \frac{C_1 B_2 + B_1 C_2}{A_1 B_2 + A_2 B_1}; \quad v = \frac{A_1 C_2 - A_2 C_1}{A_1 B_2 + A_2 B_1}.$$

Приравниваемъ

$$(A_1 C_2 - A_2 C_1)^2 = (A_1 B_2 + A_2 B_1) (C_1 B_2 + B_1 C_2); \quad (13)$$

откуда, подставляя значения A_1 , A_2 , B_1 , B_2 , C_1 , C_2 ,

$$A_1 C_2 - A_2 C_1 = c_1^2 x_2 R_v + c_1 c_2 x_3^2 \sin \gamma \cos \gamma + R_v c_1^2 x_3 \cos \gamma - c_1^2 X_v R_v +$$

$$\begin{aligned}
& + c_1 c_2 x_3 x_2 \sin \gamma - c_1 c_2 \sin \gamma x_3 X_v - r_2 c_1^2 X_v - c_1^2 x_3 X_v \sin \gamma + c_1^2 X_v R_v - \\
& - c_1 c_2 x_3^2 \sin \gamma \cos \gamma - r_2 c_1 c_2 x_3 \cos \gamma + c_1 c_2 \cos \gamma x_3 R_v = (c_1^2 x_2 + c_1^2 x_3 \cos \gamma + \\
& + c_1 c_2 \cos \gamma x_3) R_v - (c_1^2 r_2 + c_1^2 x_3 \sin \gamma + c_1 c_2 \sin \gamma x_3) X_v + c_1 c_2 x_3 (x_2 \sin \gamma - \\
& - r_2 \cos \gamma);
\end{aligned}$$

$$\begin{aligned}
A_1 B_2 + A_2 B_1 &= c_1^2 [c_1 r_2 + (c_1 + c_2) \sin \gamma x_3] R_v + c_1^2 [c_1 x_2 + \\
& + (c_1 + c_2) \cos \gamma x_3] X_v + c_1^2 c_2 x_3 (\sin \gamma r_2 + \cos \gamma x_2) + c_1 c_2 (c_1 + c_2) x_3^2; \\
C_1 B_2 + C_1 B_2 &= c_1 (x_2^2 + r_2^2) + c_1 x_3 (x_2 \cos \gamma + r_2 \sin \gamma) + (c_1 + c_2) x_3^2 + \\
& + (c_1 + c_2) x_3 (x_2 \cos \gamma + r_2 \sin \gamma) - [c_1 x_2 + (c_1 + c_2) \cos \gamma x_3] X_v - \\
& - (c_1 r_2 + (c_1 + c_2) \sin \gamma x_3) R_v.
\end{aligned}$$

Обозначая

$$\begin{aligned}
c_1 x_2 + (c_1 + c_2) \cos \gamma x_3 &= D; \quad c_1 r_2 + (c_1 + c_2) \sin \gamma x_3 = E; \\
x_3 (x_2 \sin \gamma - r_2 \cos \gamma) &= H; \quad x_3 (x_2 \cos \gamma + r_2 \sin \gamma) = K; \quad (c_2 + c_1) x_3^2 = L; \\
c_1 (x_2^2 + r_2^2) &= M;
\end{aligned}$$

и вставляя эти обозначения в ур. 5, получаемъ послѣ нѣкоторыхъ преобразованій уравненіе окружности:

$$\begin{aligned}
R_v^2 (D^2 + E^2) + X_v (D^2 + E^2) + R_v [2 c_2 D. H + c_2 K E + \frac{c_2}{c_1} \cdot L. E - \\
- 2 (c_1 + c_2) \cdot K. E - M E - L E] + X_v [c_2 K. D + \frac{c_2}{c_1} L. D - 2 c_2 H E - \\
- (2 c_1 + c_2) K. D - M. D - L. D] + [c_2^2 H^2 - c_2 (2 c_1 + c_2) K^2 - c_2 K. M - \\
- c_2 L K - \frac{c_2}{c_1} (2 c_1 + c_2) \cdot K. L - \frac{c_2}{c_1} \cdot L. M - \frac{c_2}{c_1} L^2].
\end{aligned}$$

Подставляя значения D , E , H , K , L и M и дѣлая преобразованія, имѣемъ:

$$\begin{aligned}
D^2 + E^2 &= c_1^2 (r_2^2 + x_2^2) + (c_1 + c_2)^2 x_3^2 + 2 c_1 (c_1 + c_2) x_3 (r_2 \sin \gamma + x_2 \cos \gamma) \\
2 c_2 D H - 2 c_1 K E - M E - L E \left(1 - \frac{c_2}{c_1}\right) &= [-r_2 - \left(1 - \frac{c_2}{c_1}\right) x_3 \sin \gamma] \cdot \\
& \cdot \{c_1^2 (r_2^2 + x_2^2) + (c_1 + c_2)^2 x_3^2 + 2 c_1 (c_1 + c_2) x_3 (r_2 \sin \gamma + x_2 \cos \gamma)\}; \\
- \left[2 \cdot c_2 \cdot H. E + c_1 \cdot K. D + M D + L D \left(1 - \frac{c_2}{c_1}\right)\right] &= \left[-x_2 - x_3 \cos \gamma \left(1 - \frac{c_2}{c_1}\right)\right] \cdot \\
& \cdot \left(c_1^2 (r_2^2 + x_2^2) + (c_1 + c_2)^2 x_3^2 + 2 c_1 (c_1 + c_2) x_3 (r_2 \sin \gamma + x_2 \cos \gamma)\right);
\end{aligned}$$

$$\begin{aligned} c_2^2 H_2^2 - c_2 (2c_1 + c_2) K^2 - c_2 K M - \frac{c_2}{c_1} (3c_1 + c_2) K L - \frac{c_2}{c_1} L M - \frac{c_2}{c_1} L^2 = \\ = - \frac{c_2}{c_1} (x_3^2 + x_3 x_2 \cos \gamma + x_3 r_2 \sin \gamma) [c_1^2 (r_2^2 + x_2^2) + (c_1 + c_2)^2 x_3^2 + \\ + 2c_1 (c_1 + c_2) x_3 (r_2 \sin \gamma + x_2 \cos \gamma)]. \end{aligned}$$

Сокращая на $c_1^2 (r_2^2 + x_2^2) + (c_1 + c_2)^2 x_3^2 + 2c_1 (c_1 + c_2) x_3 (r_2 \sin \gamma + x_2 \cos \gamma)$, получаемъ уравненіе круга въ видѣ

$$\begin{aligned} X_r^2 + R_r^2 - X_v \left[x_2 + x_3 \cos \gamma \left(1 - \frac{c_2}{c_1} \right) \right] - R_v \left[r_2 + x_3 \sin \gamma \left(1 - \frac{c_2}{c_1} \right) \right] - \frac{c_2}{c_1} (x_3^2 + \\ + x_3 x_2 \cos \gamma + x_3 r_2 \sin \gamma) = 0, \end{aligned}$$

которое послѣ небольшихъ преобразованій можно представить въ такомъ видѣ:

$$\begin{aligned} \left\{ X_v - \frac{1}{2} \left[x_2 + x_3 \cos \gamma \left(1 - \frac{c_2}{c_1} \right) \right] \right\}^2 + \left\{ R_v - \frac{1}{2} \left[r_2 + x_3 \sin \gamma \left(1 - \frac{c_2}{c_1} \right) \right] \right\}^2 = \\ = \frac{1}{4} \left\{ r_2^2 + x_2^2 + x_3^2 \left(1 + \frac{c_2}{c_1} \right)^2 + 2x_3 \left(1 + \frac{c_2}{c_1} \right) (x_2 \cos \gamma + r_2 \sin \gamma) \right\}. \quad (14) \end{aligned}$$

6. Построеніе круговой діаграммы путемъ послѣдовательныхъ обращеній.

Приведемъ x_2 , r_2 и x_3 къ первичной цѣпи, помноживъ ихъ на квадратъ коэффициента трансформации, и обозначимъ приведенные значения ихъ значкомъ

$$x_2' = u^2 x_2, \quad r_2' = u^2 r_2, \quad x_3' = u^2 x_3,$$

тогда

$$\begin{aligned} R_{2'v} &= \frac{1}{1 + (c_1 v)^2} \{ r_2' + x_2' c_1 v + \\ &+ x_3' [v \cos \gamma (c_1 + c_2) + \sin \gamma - v^2 \sin \gamma c_1 c_2] \} \end{aligned}$$

$$\begin{aligned} X_{2'r} &= \frac{1}{1 + (c_1 v)^2} \{ x_2' - r_2' c_1 v + x_3' [\cos \gamma - \\ &- v \sin \gamma (c_1 + c_2) - \cos \gamma c_1 c_2 v^2] \} \end{aligned}$$

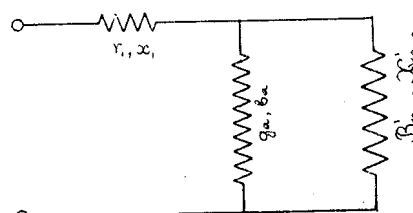


Рис. 11.

и приведенная схема получаетъ видъ рис. 11.

Изъ уравненія 6, подставляя туда r_2' , x_2' и x_3' и принявъ масштабъ m омовъ въ 1 см, получаемъ радиусъ ρ''' и координаты центра η_0''' , ξ_0''' круга K_p''' :

$$\rho''' = \frac{1}{2m} \sqrt{r_2'^2 + x_2'^2 + x_3'^2 \left(1 + \frac{c_2}{c_1}\right)^2 + 2x_3' \left(1 + \frac{c_2}{c_1}\right) (x_2' \cos \gamma + r_2' \sin \gamma)}; \quad (15)$$

$$\eta_0''' = \frac{1}{2m} \left[x_2' + x_3' \cos \gamma \left(1 - \frac{c_2}{c_1}\right) \right]; \quad \xi_0''' = \frac{1}{2m} \left[r_2' + x_3' \sin \gamma \left(1 - \frac{c_2}{c_1}\right) \right]. \quad (16)$$

Построенный по этимъ даннымъ, съ началомъ координатъ въ точкѣ O , кругъ K''' (рис. 12*, табл. I) представляетъ геометрическое мѣсто кажущихся сопротивленій при измѣненіи v .

Нанесемъ на этомъ кругѣ слѣдующія точки: 1) точку A'' , при которой $v = \infty$, съ координатами

$$x_{2v=\infty} = -\frac{c_2}{c_1} \sin \gamma \text{ и } y_{2v=\infty} = -\frac{c_2}{c_1} \cos \gamma;$$

она получается, слѣдовательно, просто проведеніемъ линіи подъ угломъ γ къ оси ординатъ въ третьей четверти.

2) Точку K''' , при которой $v=0$ съ координатами

$$x_{2v=0} = r_2' + x_3' \sin \gamma \text{ и } y_{2v=0} = x_2' + x_3' \cos \gamma,$$

для полученія которой достаточно черезъ точку A'' провести діаметръ, K''' лежитъ на другомъ его концѣ. Это видно изъ слѣдующаго: абсцисса точки противолежащей A'' будетъ

$$\frac{c_2}{c_1} x_3' \sin \gamma + 2\xi'''_0 = r_2' + x_3' \sin \gamma, \text{ а ордината } \frac{c_2}{c_1} x_3' \cos \gamma + 2\eta'''_0 = x_2' + x_3' \cos \gamma,$$

что представляетъ, какъ мы видѣли, координаты точки K''' .

3) Третьей точкой является точка C''' , при которой $v=1$, съ координатами

$$x_{2v=1} = \frac{1}{1+c_1^2} \{r_2' + c_1 x_2' + (c_1 + c_2) \cos \gamma x_3' + \sin \gamma x_3' - c_1 c_2 \sin \gamma x_3'\},$$

$$y_{2v=1} = \frac{1}{1+c_1^2} \{x_2' - c_1 r_2' - (c_1 + c_2) \sin \gamma x_3' + \cos \gamma x_3' - c_1 c_2 \cos \gamma x_3'\}.$$

Далѣе, всѣ векторы OT''' при $v=2, 3, -1, -2$ и т. д. идутъ къ точкамъ круга, какъ это нетрудно доказать, лежащимъ на пересѣченіи его съ лучами изъ точки A'' къ отрѣзкамъ линіи перпендикулярной $A''O$, равнымъ отрѣзу этой линіи между лучами $A''K'''$ и $A''C'''$.

При измѣненіи v отъ 0 до ∞ конецъ вектора OT''' движется по верхней половинѣ круга отъ K''' черезъ C''' до A'' , а при измѣненіи v отъ 0 до $-\infty$ движется по нижней.

*) На рис. 12 и послѣдующихъ положительная ось абсциссъ направлена вверхъ, а положительная ось ординатъ влево, отъ начала координатъ.

Обращая кругъ K_p''' относительно точки O , получаемъ кругъ K_p'' , представляющій изъ себя геометрическое мѣсто кажущихся проводимостей

$$Y_{2v} = \frac{1}{Z_{2v}};$$

при этомъ точкамъ K'' , C'' , A'' круга K_p''' соотвѣтствуетъ точки K' , C' , A' круга K_p'' .

Найдемъ зависимость между радиусомъ и координатами центра круговъ основного K_p''' и обращенного K_p'' . Пусть (рис. 13) K_p_1 представляетъ основной кругъ, построенный въ масштабѣ $m \Omega$ въ 1 см., а K_p_2 —обращенный, въ масштабѣ $n \Omega$ въ 1 см. Проведемъ черезъ центры C_1 и C_2 и начало координатъ O прямую $a_1 a_2$. Изъ подобія обращенныхъ фигуръ имѣемъ

$$\frac{O\partial_1}{O\partial_2} = \frac{R_1}{R_2} = \frac{X_{01}}{X_{02}} = \frac{Y_{01}}{Y_{02}},$$

гдѣ R_1 и R_2 —радиусы, а X_{01} , X_{02} , Y_{01} и Y_{02} координаты центра основного и обращенного круговъ.

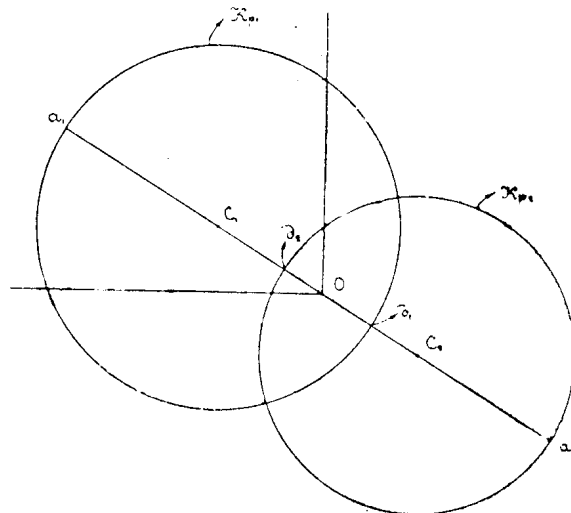


Рис. 13.

Изъ послѣдняго уравненія

$$\frac{O\partial_1}{Oa_1} \cdot \frac{Oa_1}{O\partial_2} = \frac{R_1}{R_2}; \quad (17)$$

но

$$Oa_1 = R_1 + \sqrt{X_{01}^2 + Y_{01}^2}, \quad O\partial_1 = R_1 - \sqrt{X_{01}^2 + Y_{01}^2},$$

$$\frac{Oa_1}{O\partial_2} = m \cdot n (Oa_1)^2 = m \cdot n (R_1 + \sqrt{X_{01}^2 + Y_{01}^2})^2.$$

Подставляя эти значенія въ уравненіи 17, получаемъ

$$R_2 = \frac{R_1}{m \cdot n (R_1 + \sqrt{X_{01}^2 + Y_{01}^2})^2} \cdot \frac{R_1 + \sqrt{X_{01}^2 + Y_{01}^2}}{R_1 - \sqrt{X_{01}^2 + Y_{01}^2}} = \frac{R_1}{m \cdot n} \cdot \frac{1}{R_1^2 - X_{01}^2 - Y_{01}^2}.$$

Подобнымъ же образомъ

$$X_{02} = \frac{X_{01}}{m \cdot n} \cdot \frac{1}{R_1^2 - X_{01}^2 - Y_{01}^2} \quad \text{и} \quad Y_{02} = \frac{Y_{01}}{m \cdot n} \cdot \frac{1}{R_1^2 - X_{01}^2 - Y_{01}^2}.$$

Примѣня я эти формулы къ нашему обращенному кругу K_p'' (рис. 12), получаемъ радиусъ его

$$p'' = \frac{\sqrt{r_2'^2 + x_2'^2 + x_3'^2 \left(1 + \frac{c_2}{c_1}\right)^2 + 2x_3' \left(1 + \frac{c_2}{c_1}\right) (x_2' \cos \gamma + r_2' \sin \gamma)}}{2 \cdot n \cdot x_3' \frac{c_2}{c_1} (x_3' + x_2' \cos \gamma + r_2' \sin \gamma)}$$

и координаты центра

$$\xi''_0 = \frac{r_2' + x_3' \sin \gamma \left(1 - \frac{c_2}{c_1}\right)}{2 \cdot n \cdot x_3' \frac{c_2}{c_1} (x_3' + x_2' \cos \gamma + r_2' \sin \gamma)}$$

и

$$\eta''_0 = \frac{x_2' + x_3' \cos \gamma \left(1 - \frac{c_2}{c_1}\right)}{2 \cdot n \cdot x_3' \frac{c_2}{c_1} (x_3' + x_2' \cos \gamma + r_2' \sin \gamma)}.$$

При измѣненіи v отъ 0 до $+\infty$ векторъ кажущейся проводимости $O T''$ движется по верхней части окружности отъ точки K'' черезъ C'' къ A' , а при измѣненіи v отъ 0 до $-\infty$ по нижней. Такъ какъ, при постоянномъ напряженіи ротора E'_{nc} , токъ его пропорціоналенъ вектору кажущейся проводимости

$$J_2' = E'_{nc1} \cdot Y_{2v},$$

и такъ какъ E'_{nc1} совпадаетъ съ осью абсциссъ, то абсциссы точекъ окружности представляютъ въ извѣстномъ масштабѣ мощность, получаемую роторомъ, и ось ординатъ отсѣкаетъ на окружности двѣ точки g'' и h'' , где эта мощность равна нулю.

Для полученія результирующей кажущейся проводимости вѣтвей b_c и e_f (рис. 11) мы должны прибавить кажущуюся проводимость $y_a = g_a + j b_a$ вѣтви возбужденія. Нетрудно видѣть, что векторъ

$$A'O = \frac{1}{\frac{c_2}{c_1} x_3'} = \frac{c_1 b_{n\partial}}{c_2 \cos \gamma} = \frac{b_a}{\cos \gamma},$$

такъ что конецъ вектора y_a приходится какъ разъ въ точку окружности A' . Такимъ образомъ результирующая проводимость вѣтвей b_c и e_f $Y_v' = Y_{2v}' + y_a$ представляется векторомъ $A'T = OA' + OT'$, и начало координатъ переходитъ въ точку A' .

Обращая кругъ K_p'' относительно точки A' , получаемъ прямую линію K_p' , перпендикулярную къ $A'P'$ и проходящую на разстояніи DA' . Если масштабъ $DA' p \Omega$ въ 1 см., то

$$DA' = \frac{1}{2pnR''} =$$

$$= \frac{\frac{c_2}{c_1}x_3'(x_3' + x_2'\cos\gamma + r_2'\sin\gamma)}{p \cdot \sqrt{r_2'^2 + x_2'^2 + x_3'^2 \left(1 + \frac{c_2}{c_1}\right)^2 + 2x_3'\left(1 + \frac{c_2}{c_1}\right)(x_2'\cos\gamma + r_2\sin\gamma)}}. \quad (18)$$

Уголъ наклона $A'P'$ къ оси абсциссъ равенъ $\operatorname{arctg} A'E':PE' = \operatorname{arctg} \xi_0':\eta_0'$,

$$\text{но } \xi_0' = OA'\sin\gamma - \xi_0'' = \frac{\sin\gamma}{n\frac{c_2}{c_1}x_3'} - \frac{r_2' + x_3'\sin\gamma\left(1 - \frac{c_2}{c_1}\right)}{n \cdot 2\frac{c_2}{c_1}x_3'(x_3' + x_2'\cos\gamma + r_2'\sin\gamma)} =$$

$$= \frac{x_3'\sin\gamma\left(1 + \frac{c_2}{c_1}\right) + x_2'\sin 2\gamma - r_2'\cos 2\gamma}{2n \cdot \frac{c_2}{c_1}x_3'(x_3' + x_2'\cos\gamma + r_2'\sin\gamma)},$$

подобнымъ же образомъ

$$\eta_0' = OA'\cos\gamma - \eta_0'' = \frac{\cos\gamma}{n\frac{c_2}{c_1}x_3'} - \frac{x_2' + x_3'\cos\gamma\left(1 - \frac{c_2}{c_1}\right)}{2n \cdot \frac{c_2}{c_1}x_3'(x_3' + x_2'\cos\gamma + r_2'\sin\gamma)} =$$

$$= \frac{x_3'\cos\gamma\left(1 + \frac{c_2}{c_1}\right) + x_2'\cos 2\gamma + r_2'\sin 2\gamma}{2n \cdot \frac{c_2}{c_1}x_3'(x_3' + x_2'\cos\gamma + r_2'\sin\gamma)}.$$

И уголъ наклона $P'A'$ къ оси абсциссъ

$$\varepsilon = \operatorname{arctg} \frac{x_3'\sin\gamma\left(1 + \frac{c_2}{c_1}\right) + x_2'\sin 2\gamma - r_2'\cos 2\gamma}{x_3'\cos\gamma\left(1 + \frac{c_2}{c_1}\right) + x_2'\cos 2\gamma + r_2'\sin 2\gamma}. \quad (19)$$

Такимъ образомъ уравненіе прямой K_p' будетъ

$$x \frac{x_3'\left(1 + \frac{c_2}{c_1}\right)\sin\gamma + x_2'\sin 2\gamma - r_2'\cos 2\gamma}{\rho'''^2} +$$

$$\begin{aligned}
 & + y \frac{x_3' \left(1 + \frac{c_2}{c_1} \right) \cos \gamma + x_2' \cos 2\gamma + r_2' \sin 2\gamma}{\rho'''} - \\
 & - \frac{\frac{c_2}{c_1} x_3' (x_3' + x_2' \cos \gamma + r_2' \sin \gamma)}{p \cdot \rho'''} = 0; \\
 & x \frac{x_3' \left(1 + \frac{c_2}{c_1} \right) \sin \gamma + x_2' \sin 2\gamma - r_2' \cos 2\gamma}{c_1} + \\
 & + y \frac{x_3' \left(1 + \frac{c_2}{c_1} \right) \cos \gamma + x_2' \cos 2\gamma + r_2' \sin 2\gamma}{\frac{c_2}{c_1} x_3' (x_3' + x_2' \cos \gamma + r_2' \sin \gamma)} - \frac{1}{p} = 0,
 \end{aligned}$$

или

$$x \xi_0' + y \eta_0' = \frac{1}{2pn}. \quad (20)$$

Прямая K_p' представляет геометрическое место кажущихся сопротивлений ветвей bc и ef при изменении v . Вектор $A'T'$, представляющий это кажущееся сопротивление, равен

$$A'T' = \frac{1}{Y_{v'}} = \frac{1}{Y_{2v} + y_a} = \frac{1}{\frac{1}{Z_{2v}} + y_a}.$$

Точкам $K''C'A'$ круга K_p'' соответствуют точки K', C' и ∞ прямой K_p' . При изменении v от 0 до $+\infty$ вектор $A'T'$ движется по верхней части прямой K_p' от точки K' через C' в $+\infty$ бесконечность, при изменении же v от 0 до $-\infty$ он движется по нижней части от K' до $-\infty$.

Нетрудно доказать, что вектор $A'T'$ при $v = 0, 1, 2, 3$ и т. д., а также $0, -1, -2, -3$ и т. д. проходит через точки, лежащие на этой прямой в одинаковых дистанциях от угла разстояния. В самом деле, найдем абсциссу произвольной точки T' , лежащей на этой прямой. Соответствующие точки на кругах K_p''' и K_p'' будут T''' и T' . Из треугольника $T'''OA'$ мы имеем

$$(T''A')^2 = (T''O)^2 + (OA')^2 - 2 \cdot T''O \cdot OA' \cdot \cos T''OA', \quad (21)$$

но $\cos T''OA' = \cos (180 - T''Oh'' + \gamma) = -\cos (\delta_v - \gamma)$,

гдѣ $T''O h''$ мы обозначимъ черезъ δ_v . Изъ круга K_p'''

$$\cos(\delta_v - \gamma) = \frac{X'_{2v} \cos \gamma + R'_{2v} \sin \gamma}{Z'_{2v}}.$$

Подставляя въ ур. 21 значения векторовъ $T''O = \frac{1}{Z'_{2v}}$, $OA' = \frac{1}{\frac{c_2}{c_1}x_3'}$,

и значение $\cos(\delta_v - \gamma)$ получаемъ

$$(T'A')^2 = \frac{1}{Z'_{2v}{}^2} + \frac{1}{\left(\frac{c_2}{c_1}x_3'\right)^2} + 2 \cdot \frac{1}{Z'_{2v} \frac{c_2}{c_1}x_3'} \cdot \frac{X'_{2v} \cos \gamma + R'_{2v} \sin \gamma}{Z'_{2v}}.$$

Абсцисса точки T' .

$$\begin{aligned} T'H' &= \frac{1}{T'A'} \cdot \sin T'A'H' = \frac{1}{T'A'} \cdot \frac{T'H' + \frac{1}{\frac{c_2}{c_1}x_3'} \sin \gamma}{\frac{c_2}{c_1}x_3'} = \\ &= \frac{\frac{1}{Z'_{2v}} \sin \delta_v + \frac{1}{\frac{c_2}{c_1}x_3'} \sin \gamma}{(T'A')^2} = \frac{\frac{R'_{2v}}{Z'_{2v}{}^2} + \frac{1}{\frac{c_2}{c_1}x_3'} \sin \gamma}{\frac{1}{Z'_{2v}{}^2} + \frac{1}{\left(\frac{c_2}{c_1}x_3'\right)^2} + 2 \frac{X'_{2v} \cos \gamma + R'_{2v} \sin \gamma}{Z'_{2v}{}^2 \cdot \frac{c_2}{c_1}x_3'}} = \\ &= \frac{\left(R'_{2v} \frac{c_2}{c_1}x_3' + Z'_{2v} \sin \gamma\right) \frac{c_2}{c_1}x_3'}{\frac{c_2}{c_1}x_3' + Z'_{2v}{}^2 + 2 \frac{c_2}{c_1}x_3' (X'_{2v} \cos \gamma + R'_{2v} \sin \gamma)}. \end{aligned}$$

Подставляя значение R'_{2v} , X'_{2v} и Z'_{2v} и дѣлая приведеніе подобныхъ членовъ, получаемъ

$$T'H'_v = \frac{\left[\left(r'_{2v}{}^2 + x'_{2v}{}^2 + x'_{3v}{}^2 \left(1 + \frac{c_2}{c_1}\right) + 2x'_{3v} (x'_{2v} \cos \gamma + r'_{2v} \sin \gamma)\right] \sin \gamma + \frac{c_2}{c_1} x'_{3v} r'_{2v} + \right.}{r'_{2v}{}^2 + x'_{2v}{}^2 + x'_{3v}{}^2 \left(1 + \frac{c_2}{c_1}\right)^2 + 2x'_{3v} \left(1 + \frac{c_2}{c_1}\right) (x'_{2v} \cos \gamma + r'_{2v} \sin \gamma)} \frac{c_2}{c_1} x'_{3v} \quad (22)$$

— линейное уравненіе при переменномъ v .

При $v=0$

$$T'H'_{v=0} = \frac{\left[\left\{ r_2'^2 + x_2'^2 + x_3'^2 \left(1 + \frac{c_2}{c_1} \right) + \right. \right.}{r_2'^2 + x_2'^2 + x_3'^2 \left(1 + \frac{c_2}{c_1} \right)^2 + 2x_3' \left(1 + \frac{c_2}{c_1} \right) (x_2' \cos \gamma + r_2' \sin \gamma)} \cdot \left. \left. + 2x_3' (x_2' \cos \gamma + r_2' \sin \gamma) \right] \sin \gamma + \frac{c_2}{c_1} x_3' r_2' \right] \frac{c_2}{c_1} \cdot x_3'.$$

И разность абсциссъ точекъ T' и K'

$$T'H'_{v=0} - T'H'_{v=1} = \frac{\left[\left(1 + \frac{c_2}{c_1} \right) x_3' \cos \gamma + x_2' \cos 2\gamma + r_2' \sin 2\gamma \right] c_2 v x_3' \cdot \frac{c_2}{c_1} \cdot x_3'}{r_2'^2 + x_2'^2 + x_3'^2 \left(1 + \frac{c_2}{c_1} \right)^2 + 2x_3' \left(1 + \frac{c_2}{c_1} \right) (x_2' \cos \gamma + r_2' \sin \gamma)},$$

т. е. возвышение точекъ $T'_{v=1}$, $T'_{v=2}$ и т. д. надъ точкой $T'_{v=0}$ пропорционально v . Расстояние между точками $T'_{v=0}$ и $T'_{v=1}$ или же $T'_{v=1}$ и $T'_{v=2}$ и т. д. выражается:

$$K'C' = \frac{T'H'_{v=1} - T'H'_{v=0}}{\sin \epsilon} = \frac{\left[\left(1 + \frac{c_2}{c_1} \right) x_3' \cos \gamma + x_2' \cos 2\gamma + r_2' \sin 2\gamma \right] c_2 v x_3' \cdot \frac{c_2}{c_1} \cdot x_3'}{\left[x_3' \cos \gamma \left(1 + \frac{c_2}{c_1} \right) + x_2' \cos 2\gamma + r_2' \sin 2\gamma \right] \sqrt{r_2'^2 + x_2'^2 + x_3'^2 \left(1 + \frac{c_2}{c_1} \right)^2 +} \\ + 2x_3' \left(1 + \frac{c_2}{c_1} \right) (x_2' \cos \gamma + r_2' \sin \gamma)}$$

Прибавляя къ точкѣ $A' r_1 - jx_1$ получаемъ новое начало координатъ въ точкѣ A . Тогда векторъ AT' , представляющій кажущееся сопротивленіе всей нашей цѣпи, равенъ

$$AT = Z_b = z_1 + \frac{1}{Y_{2v} + y_a}.$$

Обращая относительно точки A , мы получаемъ кругъ, проходящій черезъ послѣднюю и представляющій геометрическое мѣсто кажущихся проводимостей, при измѣненіи v .

Діаметръ этого круга

$$2\rho = \frac{1}{q \cdot p \cdot (A'D' + x_1 \sin \varepsilon + r_1 \cos \varepsilon)} =$$

$$= \sqrt{r_2'^2 + x_2'^2 + x_3'^2 \left(1 + \frac{c_2}{c_1} \right)^2 + 2x_3' \left(1 + \frac{c_2}{c_1} \right) (x_2' \cos \gamma + r_2' \sin \gamma)}$$

$$= q \cdot \left\{ \frac{c_2}{c_1} x_3' (x_3' + x_2' \cos \gamma + r_2' \sin \gamma) + r_1 \left[x_3' \sin \gamma \left(1 + \frac{c_2}{c_1} \right) + x_2' \sin 2\gamma - r_2' \cos 2\gamma \right] + x_1 \left[x_3' \cos \gamma \left(1 + \frac{c_2}{c_1} \right) + x_2' \cos 2\gamma + r_2' \sin 2\gamma \right] \right\}.$$

Уголъ наклона радиуса изъ начала координатъ остается тѣмъ же самимъ, поэтому координаты центра будуть:

$$\xi_0 = \rho \cos \varepsilon = + \frac{x_3' \sin \gamma \left(1 + \frac{c_2}{c_1} \right) + x_2' \sin 2\gamma - r_2' \cos 2\gamma}{2 \cdot q \left[\frac{c_2}{c_1} x_3' (x_3' + x_2' \cos \gamma + r_2' \sin \gamma) + r_1 \left[x_3' \sin \gamma \left(1 + \frac{c_2}{c_1} \right) + x_2' \sin 2\gamma - r_2' \cos 2\gamma \right] + x_1 \left[x_3' \cos \gamma \left(1 + \frac{c_2}{c_1} \right) + x_2' \cos 2\gamma + r_2' \sin 2\gamma \right] \right]}$$

$$\eta_0 = \rho \sin \varepsilon = + \frac{x_3' \cos \gamma \left(1 + \frac{c_2}{c_1} \right) + x_2' \cos 2\gamma + r_2' \sin 2\gamma}{2 \cdot q \left[\frac{c_2}{c_1} x_3' (x_3' + x_2' \cos \gamma + r_2' \sin \gamma) + r_1 \left[x_3' \sin \gamma \left(1 + \frac{c_2}{c_1} \right) + x_2' \sin 2\gamma - r_2' \cos 2\gamma \right] + x_1 \left[x_3' \cos \gamma \left(1 + \frac{c_2}{c_1} \right) + x_2' \cos 2\gamma + r_2' \sin 2\gamma \right] \right]}.$$

Обыкновенно въ репульсационныхъ моторахъ, благодаря слабому насыщению желѣза, уголъ γ очень малъ, такъ что въ формулы радиуса и координатъ центра послѣдняго круга мы можемъ ввести упрощенія.

Въ общемъ знаменатель мы пренебрежемъ членами $r_1 x_3' \sin \gamma$, $r_1 x_2' \sin 2\gamma$, $-r_1 r_2' \cos 2\gamma$ и $x_1 r_2' \sin 2\gamma$, какъ очень малыми, а у членовъ $\frac{c_2}{c_1} x_3' x_2' \cos \gamma$, $x_1 x_3' \cos \gamma \left(1 + \frac{c_2}{c_1} \right)$ и $x_1 x_2' \cos 2\gamma$ будемъ считать $\cos \gamma$ и $\cos 2\gamma$ за 1. Въ числитель выражения радиуса мы приравниваемъ $\gamma = 0$ и кромѣ того мы въ большинствѣ случаевъ можемъ пренебречь и $r_2'^2$, тогда получаются слѣдующія простыя выраженія:

$$\rho = \frac{\frac{c_2}{c_1} x_3' + x_3' + x_2'}{q \cdot \left[2 \frac{c_2}{c_1} x_3' \{x_3' + (r_1 + r_2') \sin \gamma + (x_1 + x_2')\} + 2 \cdot x_1 (x_3' + x_2') \right]}, \quad (23a)$$

$$\xi_0 = \frac{x_3' \sin \gamma \left(1 + \frac{c_2}{c_1} \right) - r_2'}{q \cdot \left[2 \cdot \frac{c_2}{c_1} x_3' \{x_3' + (r_1 + r_2') \sin \gamma + (x_1 + x_2')\} + 2x_1(x_3' + x_2') \right]}, \quad (23b)$$

$$\eta_0 = \frac{x_3' \cos \gamma \left(1 + \frac{c_2}{c_1} \right) + x_2'}{q \cdot \left[2 \cdot \frac{c_2}{c_1} x_3' \{x_3' + (r_1 + r_2') \sin \gamma + (x_1 + x_2')\} + 2x_1(x_3' + x_2') \right]}. \quad (23c)$$

Произвольный векторъ AT' представляетъ кажущуюся проводимость всей цѣпи мотора

$$Y_o = Z_o = \frac{1}{z_1 + \frac{1}{Y_{2r} + y_a}}$$

Точкамъ K' , C' и ∞ прямой K_p' соответствуютъ точки K , C и A круга K_p .

При постоянномъ напряженіи на клеммахъ P_1 первичный токъ $J_1 = P_1 \cdot Y_o$ и слѣдовательно наша діаграмма представляетъ въ извѣстномъ масштабѣ діаграмму первичнаго тока. Такъ какъ напряженіе на клеммахъ совпадаетъ съ положительнымъ направленіемъ оси абсциссъ, то каждый векторъ AT представляетъ по величинѣ и направленію первичный токъ, его абсцисса TH представляетъ ваттный токъ $J_1 \cos \varphi_1$, а ордината AH безваттный $J_1 \sin \varphi_1$. Уголь же, составляемый векторомъ AT съ осью абсциссъ—уголъ сдвига фазъ между E_1 и J_1 . При пускѣ въ ходъ первичный токъ представляется векторомъ AK , при синхронизмѣ AC и при безконечно большомъ числѣ оборотовъ точкой A т. е. равенъ нулю.

7. Намагничающій и вторичный токи въ круговой діаграммѣ.

При $v = \infty$ моторъ не получаетъ и не отдаетъ энергіи во внѣшнюю цѣпь, $J_1 z_1 = 0$ и электродвижущая сила индукирующаяся въ статорѣ E_1 равна приложеному напряженію на клеммахъ P_1 . Въ роторѣ въ это время циркулируетъ токъ $J_2' v = \infty$ равный намагничаю-

щему току $J_{ar} = \infty = \frac{P_1}{c_2 x'_{np}} = \frac{P_1}{x'_{n\delta}}$ и отстающій слѣдовательно отъ P_1

на уголъ $\frac{\pi}{2} - \gamma$. При уменьшеніи v $J_1 \cdot z_1$, а слѣдовательно, E_1 и J_{ar}

движутся по кругамъ, положеніе которыхъ опредѣляется путемъ слѣдующихъ простыхъ разсужденій.

Пусть (рис. 14) K_{p_3} представляетъ извѣстный намъ кругъ первичныхъ силъ тока, AP_1 напряженіе на клеммахъ. Возьмемъ наибольшую силу тока AT_m , построимъ отъ точки P_1 $P_1 b = J_1 x_1$ перпендикулярно къ AT_m и $b t_m = J_1 r_1$ параллельно AT_m , получаемъ $P_1 t_m = J_1 z_1$ подъ угломъ ψ_1 къ AT_m ,

гдѣ $\psi_1 = \arctg \frac{r_1}{x_1}$, тогда At_m представ-

ляетъ E_1 электродвижущую силу, индуктирующуюся въ статорѣ при наибольшемъ токѣ. По окружности, имѣющей своимъ діаметромъ $P_1 t_m$ и движущаяся при измѣненіи $v - J_1 z_1$ и E_1 . Откладывая

подъ угломъ $\frac{\pi}{2} - \gamma$ къ AP_1 намагничива-

ющій токъ $J_{ar} = \infty = Aa$, проводя изъ

точки a подъ угломъ $\varepsilon - \psi_1$ къ Aa прямую и откладывая на ней отрѣзокъ $at_{m_1} = \frac{P_1 t_m \cdot Aa}{AP_1} = \frac{J_1 z_1}{P_1} Aa = Y_{e, max.} z_1 Aa$ и описывая на at_{m_1}

окружность, получаемъ геометрическое мѣсто, по которому движется конецъ вектора намагничивающаго тока съ измѣненіемъ v . При этомъ, въ то время какъ первичный токъ движенія по верхней части окружности, E_1 движется по лѣвой, а J_a по нижней, и наоборотъ.

Вторичный токъ, представляющій геометрическую разность первичного и намагничивающаго, движется обоими своими концами: однимъ по кругу первичнаго тока K_{p_3} , другимъ по кругу намагничивающаго тока K_{p_1} .

Нетрудно показать, что подобный векторъ можетъ быть замѣненъ векторомъ, одинъ конецъ котораго неподвиженъ, а другой движется по кругу, діаметръ котораго представляетъ геометрическую сумму соответствующихъ діаметровъ K_{p_3} и K_{p_1} . Въ самомъ дѣлѣ, пусть (рис. 15) у насъ имѣются два такихъ круга K_{p_3} и K_{p_1} съ двумя соответствующими другъ другу діаметрами AB и ab . Проведемъ изъ точки B линію, параллельную ab и отложимъ на ней отрѣзокъ $BB_2 = ab$: на линіи AB_2 , какъ на діаметрѣ построимъ окружность. Тогда всякий векторъ изъ точки a къ окружности круга K_{p_2} равенъ по величинѣ и направлению вектору между соответствующими точками круговъ K_{p_1} и K_{p_3} . Въ самомъ дѣлѣ, такъ какъ каждая хорда AE_2 круга K_{p_2} равна геометрической суммѣ соответствующихъ хордъ круговъ K_{p_1} и K_{p_3} AE

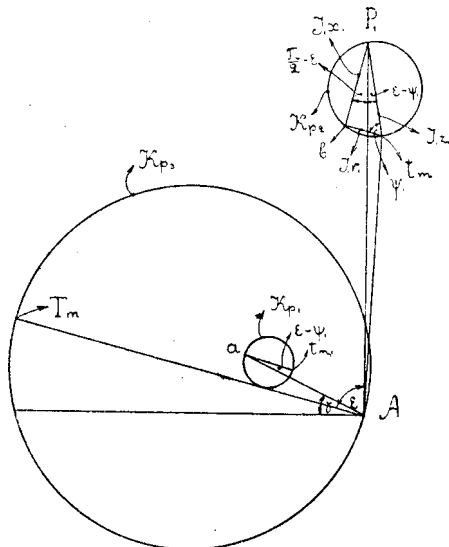


Рис. 14.

и ae , то Ee равно и параллельно ae , а следовательно также и aE_2 равно и параллельно Ee .

Само собой разумѣется, что гораздо удобнѣе, когда конецъ вектора вторичнаго тока движется по тому же кругу K_{p_3} , какъ и векторъ первичнаго. Этого можно достигнуть вращая кругъ K_{p_2} на уголъ B_2AB и уменьшая его въ $\frac{B_2A}{BA}$ разъ. Для нахожденія точки a_0 неподвижнаго центра всѣхъ векторовъ вторичнаго тока можно поступать слѣдующимъ образомъ:

поворнуть на уголъ вращенія B_2AB прямую Aa , произвольную точку D_4 круга K_{p_4} , описаннаго на B_4A , какъ на диаметръ, соединить съ a_1 — новымъ положеніемъ точки a послѣ вращенія и изъ D_3 круга K_{p_3} , соответствующей D_4 круга K_{p_4} , провести параллельную; точка a_0 пересечения ея съ Aa_1 и есть центръ векторовъ вторичнаго тока. Это видно

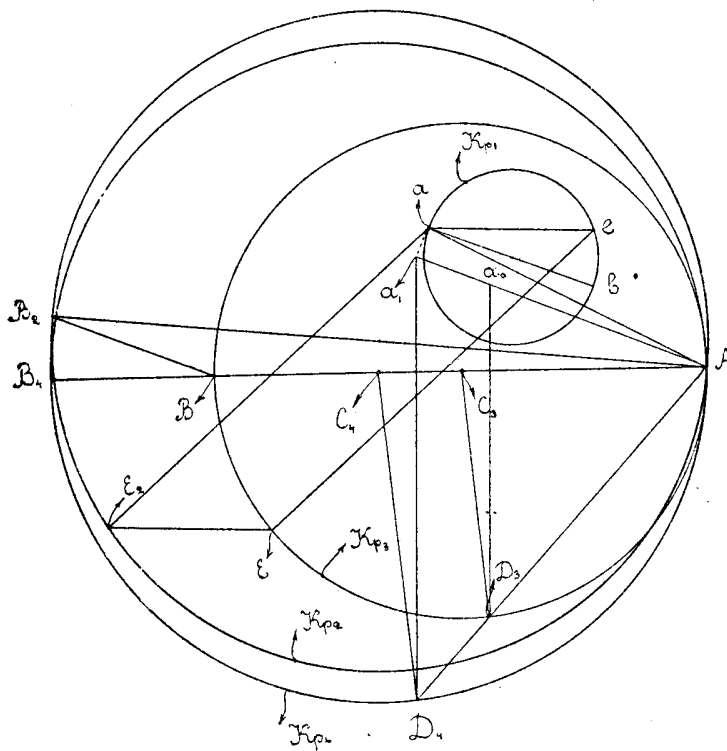


Рис. 15.

изъ слѣдующаго: пусть D_3 и D_4 соотвѣтствующія точки круговъ K_{p_3} и K_{p_4} ; изъ подобія треугольниковъ AD_3C_3 и AD_4C_4 слѣдуєтъ, что онѣ лежать на одной прямой AD_3D_4 , а изъ подобія треугольниковъ AD_3a_0 и AD_4a_1 слѣдуєтъ, что a_0 какъ разъ и есть искомая точка.

Векторъ a_0D по величинѣ меныше истиннаго значенія вектора вторичнаго тока въ $\frac{AB_2}{AB} = \frac{\sqrt{(AB)^2 + (ab)^2 + 2AB \cdot ab \cdot \cos B_2BA}}{AB}$ разъ, а по фазѣ отстаетъ отъ послѣдняго на уголъ BAB_2 . Уголъ $B_2BB_4 = \psi_1 - \frac{\pi}{2} + \gamma$ (см. рис. 14), уголъ $ABB_2 = \pi - \psi_1 - \gamma + \frac{\pi}{2}$, откуда

$$\angle B_2AB_4 = \arcsin \frac{BB_2 \sin \left(\gamma + \psi_1 - \frac{\pi}{2} \right)}{B_2A}.$$

Такъ какъ уголъ наклона между соотвѣтствующими ціаметрами ab и AB очень малъ, а также невелики обыкновенно по сравненію съ AB ab

и Aa_1 , то въ большинствѣ случаевъ точка a_0 находится дѣленіемъ линіи Aa на части aa_0 и a_0A , находящіяся въ отношеніи

$$aa_0 : Aa_0 = ab : AB.$$

8. Скорость, сдвигъ фазъ и моментъ въ круговой діаграммѣ.

Въ § 6 мы видѣли, что отрѣзокъ $K'T'$ линіи Kp' между лучами изъ точки A , проходящими черезъ K и произвольную точку T , пропорціоналенъ скорости въ этой послѣдней. Отсюда слѣдуетъ, что *каждая линія, перпендикулярная діаметру изъ A, есть линія скорости.*

При небольшихъ скоростяхъ опредѣленіе ея по подобной линіи не представляетъ затрудненій; иначе обстоитъ дѣло, когда приходится опредѣлять скорости точекъ близкихъ къ A . Въ подобныхъ случаяхъ можно поступать слѣдующимъ образомъ. Соединивъ (рис. 16, табл. II) д съ A и b и продолживъ Ab до пересѣченія съ линіей скорости въ точкѣ e , изъ подобія треугольниковъ Aef и Ahd имѣемъ:

$$\frac{fe}{db} = \frac{v \cdot ki + kf}{\partial b} = \frac{fA}{\partial A}$$

откуда

$$v = \frac{fA \cdot \partial b}{\partial A \cdot ki} - \frac{kf}{ki}.$$

Этимъ же способомъ нетрудно найти также точку по данной скорости.

Уголъ сдвига фазъ между напряженіемъ на клеммахъ и первичнымъ токомъ представляется на діаграммѣ непосредственно угломъ между векторомъ AT и осью абсциссъ. Коеффиціентъ мощности $\cos \varphi_1$ получается въ видѣ отрѣзка At_1 на AT , если по оси абсциссъ отложить отрѣзокъ $Al=1$ и на немъ, какъ на діаметрѣ описать полуокружность.

Вращающій моментъ, какъ мы видѣли, слагается изъ двухъ моментовъ: M_{np} —продольной катушки въ поперечномъ полѣ и M_{nd} —поперечной катушки въ продольномъ полѣ, причемъ доминирующую роль играетъ первый.

$$M_{np} = k_1 \Phi_{np} \cdot J_2 \cos \gamma = k J_2^2 \cos \gamma, \text{ а } M_{nd} = k_1 \Phi_{nd} \cdot J_2 \cos (\Phi_{nd} J_2) = \\ = k \cdot J_2 J_a \cos (\Phi_{nd}, J_2),$$

гдѣ k_1 и k —постоянныя, опредѣляемыя ниже.

Такимъ образомъ результирующій моментъ мотора

$$M = k [J_2^2 \cos \gamma + J_2 J_a \cos (\Phi_{nd}, J_2)].$$

Разсмотримъ (рис. 17) круговую діаграмму для мотора, лишенного первичнаго сопротивленія и реакціи. Здѣсь векторъ Aa , представляющій векторъ намагничивающаго тока, неподвиженъ, AT , представляющій векторъ первичнаго тока, и aT ,—вторичнаго,—движутся по кругу; векторъ продольнаго магнитнаго потока—совпадаетъ съ осью ординатъ

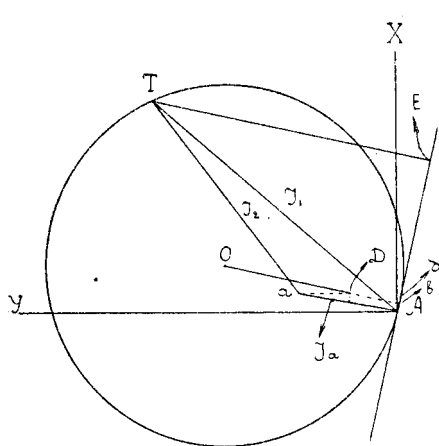


Рис. 17.

Не трудно видѣть, что

$$M = k \{ (X - X_a)^2 \cos \gamma + (Y - Y_a)^2 \cos \gamma + J_a (Y - Y_a) \},$$

гдѣ X и Y —координаты точки T , а X_a и Y_a координаты точки a .

Изъ уравненія круга мы имѣемъ

$$X^2 + Y^2 = 2X_0 X + 2Y_0 Y - X_0^2 - Y_0^2 + R^2 = 2X_0 X + 2Y_0 Y,$$

гдѣ X_0 и Y_0 координаты центра, а $R = \sqrt{X^2 + Y^2}$ радиусъ круга. Подставляя въ предыдущее уравненіе получаемъ

$$M = k [\cos \gamma X_a^2 + \cos \gamma Y_a^2 + 2 \cos \gamma (X_0 - X_a) X + 2 \cos \gamma (Y_0 - Y_a) Y + J_a (Y - Y_a)],$$

но $J_a Y_a = J_a^2 \cos \gamma$, слѣдовательно

$$M = k \{ 2 \cos \gamma (X_0 - X_a) X + [2 \cos \gamma (Y_0 - Y_a) + J_a] Y \}.$$

Это выраженіе мы можемъ представить въ видѣ:

$$M = 2 \cdot \cos \gamma \cdot k \cdot \sqrt{(X_0 - X_a)^2 + \left[(Y_0 - Y_a) + \frac{J_a}{2 \cos \gamma} \right]^2} \times \\ \times \left\{ \frac{(X_0 - X_a) X + \left[(Y_0 - Y_a) - \frac{J_a}{2 \cos \gamma} \right] \cdot Y}{\sqrt{(X_0 - X_a)^2 + \left[(Y_0 - Y_a) + \frac{J_a}{2 \cos \gamma} \right]^2}} \right\} \quad (24)$$

Выраженіе въ квадратныхъ скобкахъ представляетъ, какъ известно, разстояніе текущей точки съ координатами X , Y отъ некоторой прямой съ уравненіемъ

$$(X_0 - X_a) X + \left[(Y_0 - Y_a) - \frac{J_a}{2 \cos \gamma} \right] Y = 0$$

и которая, очевидно, проходитъ черезъ начало координатъ. Уголъ наклона этой прямой къ оси абсциссъ опредѣляется, какъ

$$\delta_m = \arctg \frac{2 \cos \gamma (X_0 - X_a)}{2 \cos \gamma (Y_0 - Y_a) - J_a}. \quad (25)$$

Не трудно видѣть, что эта линія пересѣкаетъ кругъ въ двухъ точкахъ: A и въ точкѣ ∂ , гдѣ

$$J_2 \cos \gamma = J_a \cos (\Phi_{\partial}, J_2)$$

Отсюда чрезвычайно простое построеніе ея. Стоитъ лишь изъ точки a радиусомъ $\frac{J_a}{\cos \gamma}$ засѣчь кругъ, получается вторая точка линіи моментовъ.

Что касается до выраженія $\sqrt{(X_0 - X_a)^2 + \left[(Y_0 - Y_a) + \frac{J_a}{2 \cos \gamma} \right]^2}$, то оно, очевидно, представляется линіей OD , гдѣ точка D получается пересѣченіемъ перпендикуляра къ отрѣзку Aa , изъ средины послѣдняго съ линіей параллельной оси ординатъ изъ точки a .

Такимъ образомъ вращающій моментъ представляется произведениемъ $2 \cos \gamma k$ на отрѣзокъ OD и на разстояніе TE соответствующей точки круга T отъ прямой AE .

$$M = 2 \cos \gamma k \cdot OD \cdot TE \quad (26)$$

Уголъ наклона линіи OD къ оси ординатъ выражается

$$\angle \delta_{OD} = \arctg \frac{X_0 - X_a}{Y_0 - Y_a - \frac{J_a}{2 \cos \gamma}},$$

т. е. тотъ же, что и линіи моментовъ къ оси абсциссъ. Такимъ образомъ, отрѣзокъ OD перпендикуленъ къ AE . Отсюда еще одно простое построеніе линіи моментовъ. Если продолжить OD до пересѣченія съ окружностью a точкѣ b и отложить $bd = Ab$, то получаемъ вторую точку линіи моментовъ.

При наличии первичной реакціи и сопротивленія, возбуждающій токъ и продольный магнитный потокъ, какъ мы видѣли, движутся по кругамъ, поэтому линія моментовъ не представляетъ уже точной прямой. Но такъ какъ съ одной стороны колебанія возбуждающаго тока и продольного потока очень не велики, а съ другой они вліяютъ только на второй членъ въ суммѣ моментовъ, самъ по себѣ небольшой по сравненію съ первымъ, то мы сдѣлаемъ чрезвычайно небольшую ошибку, если примемъ за линію моментовъ прямую получаю-

щуюся слѣдующимъ образомъ. Допустимъ, что для мотора съ первичнымъ реактивнымъ и омическимъ сопротивленіями продольный магнитный потокъ совпадаетъ съ направлениемъ оси ординатъ, а намагничивающій токъ неподвиженъ и совпадаетъ съ векторомъ Oa_0 (рис. 16), гдѣ a_0 — центръ векторовъ вторичнаго тока, тогда линія моментовъ tt получается только что описаннымъ способомъ.

9. Потери, мощность и коэффиціентъ полезнаго дѣйствія въ круговой діаграммѣ.

Первичная мощность Абсцисса любой точки круга представляетъ, какъ было указано выше, ваттный токъ $J_1 \cos \varphi_1$ и, слѣдовательно, при постоянномъ напряженіи на клеммахъ въ извѣстномъ масштабѣ подаваемую мотору мощность

$$W_1 = I_1 \cdot J_1 \cos \varphi_1.$$

Ось ординатъ служить, такимъ образомъ, линіей первичной мощности, и разстояніе точки T отъ нея пропорціонально W_1 .

Линія первичной мощности пересѣкаетъ кругъ въ двухъ точкахъ A и B (рис. 16, табл. II) для которыхъ $W_1 = 0$, она дѣлить этими точками кругъ на двѣ части: верхнюю — моторную, въ которой мощность положительна, т. е. подводится, и нижнюю генераторную, въ которой мощность отрицательна, т. е. отдается.

Потери въ обмоткѣ статора. По примѣру Bragstad'a и La Cour'a мы представляемъ потери въ статорѣ пропорціональными разстоянію точекъ окружности отъ такъ называемой полуполяры, т. е. линіи, параллельной полярѣ и проходящей черезъ середину касательной изъ неподвижнаго центра векторовъ. Такъ какъ въ нашемъ случаѣ центръ векторовъ первичнаго тока лежить на самой окружности, то полулюстра превращается въ касательную къ точкѣ A окружности. Перпендикуляръ изъ произвольной точки окружности T на эту касательную

$$TL = \frac{J_1^2}{2OA} = \frac{J_1^2}{J_{1\max}},$$

такъ что первичныя потери въ обмоткѣ статора

$$V_1 = J_1^2 r_1 = 2 \cdot q^2 \cdot OA \cdot LT \cdot r_1 = q J_{1\max} \cdot r_1 \cdot LT, \quad (27)$$

гдѣ q масштабъ первичнаго тока.

Потери въ обмоткѣ ротора. Вторичный токъ имѣеть своимъ подвижнымъ центромъ точку a_0 и его потери представляются опять таки TM , разстояніемъ точекъ окружности отъ полуполяры къ точкѣ

P. Послѣдняя представляетъ изъ себя пересѣченіе касательныхъ къ точкамъ a_1 и a_2 , когорыя получаются, какъ пересѣченіе съ окружностью K_p линіи a_1a_2 , проходящей черезъ неподвижный центръ векторовъ J_2 и перпендикулярной къ Oa_0 . Поэтому потери въ обмоткѣ ротора

$$V_2 = J_2^2 r_2 = 2 s^2 Oa_0 r_2 TM, \quad (28)$$

гдѣ s масштабъ вторичнаго тока.

Потери въ желѣзѣ отъ поперечнаго поля. Поперечное поле ротора принято нами пропорціональнымъ вторичному току и, слѣдовательно, линіей потерь въ желѣзѣ отъ поперечнаго поля будетъ служить та же самая линія потерь въ обмоткѣ ротора. Измѣняется лишь постоянная, опредѣляющаяся слѣдующимъ образомъ. Какъ мы имѣли выше,

$$E_{nc}'' = J_2 x_{np} \cos \gamma = J_2 \cos \gamma \frac{x_{n\partial}}{c_2} \cdot \frac{c_1}{c_1}$$

Поэтому потери въ желѣзѣ

$$V_{a_2} = g_{np} E^2 = \frac{c_2}{c_1} g_a \left(\frac{x_{n\partial}}{c_2} \cos \gamma \right)^2 J_2^2 = \frac{g_a}{c_2} \frac{J_2^2}{c_1 (b_a^2 + g_a^2)} = \frac{c_1}{c_2} r_a J_2^2.$$

Въ діаграммѣ онѣ представляются отрѣзками TM и равны

$$V_{a_2} = 2 s^2 \frac{c_1}{c_2} r_a Oa_0 TM \quad (26)$$

Потери въ желѣзѣ отъ продольнаго поля. Подобнымъ образомъ мы можемъ представить и потери отъ продольнаго поля отрѣзкомъ tq между окружностью k_p , по которой движется конецъ намагничивающаго тока, и полуполярой къ ней qr изъ неподвижнаго центра послѣдняго A . Эти потери равны

$$V_{a_1} = J_a^2 \frac{g_a}{g_a^2 + b_a^2} = J_a^2 \cdot r_a = 2 q^2 r_a \cdot oA \cdot tq. \quad (30)$$

Но такъ какъ съ одной стороны кругъ K_p бываетъ обыкновенно очень малъ, а съ другой для удобства дальнѣйшаго построенія діаграммы нужно, чтобы всѣ точки находились на окружности K_p , мы окружность k_p повернемъ на соответствующій уголъ и увеличимъ ее до окружности K_p . Тогда точка A займетъ положеніе A_1 (см. рис. 18 табл.

I, представляющей рис. 16 въ меньшемъ масштабѣ), полуполяра qr положение QR и потери отъ продольного поля

$$\begin{aligned} V_{a_1} = 2q^2 r_a \cdot OA_1 \cdot TQ \left(\frac{ot}{OT} \right)^2 &= 2q^2 r_a OA_1 \cdot TQ \left(\frac{z_1}{P_1} J_{av=\infty} \right)^2 = \\ &= 2q^2 r_a OA_1 \cdot TQ \cdot z_1^2 y_{av=\infty}^2 \end{aligned} \quad (31)$$

Мощность, отдаваемая ротору, равна мощности, получаемой статоромъ, минусъ потери въ послѣднемъ $W_a = W_1 - J_1^2 r_1 - J_a^2 r_a$ и представляется также разстояніемъ точекъ круга отъ прямой линіи. Положение ея опредѣляется точками пересѣченій ея съ кругомъ, для которыхъ $W_a = 0$.

Выше (стр. 22) мы видѣли, что въ кругѣ K_p'' точки g'' и h'' представляютъ точки, для которыхъ мощность, подаваемая ротору, равна нулю. На кругѣ K_p этимъ точкамъ будутъ соотвѣтствовать точки g и h , поэтому прямая gh и представляетъ линію *мощности, получаемой роторомъ*.

Суммарные потери статора $V_c = J_1^2 r_1 + J_a^2 r_a$ представляются разстояніемъ точекъ круга отъ линіи $S_1 U$ (рис. 16), проходящей черезъ S_1 , точку пересѣченія LA и RQ (рис. 18), и черезъ точку пересѣченія U линій hg и BA (рис. 16).

Мощность, отдаваемая роторомъ, равна мощности, получаемой имъ минусъ потери въ немъ: $W_2' = W_a - J_2^2 \left(r_2' + r_a \frac{c_1}{c_2} \right)$; и представляется разстояніемъ точекъ круга отъ прямой, проходящей черезъ точки, въ которыхъ $W_2' = 0$. Положеніе этихъ точекъ опредѣляется уравненіемъ

$$\begin{aligned} W_2' = W_a - V_{a_2} = EJ_2 \cos \varphi_2 - J_2^2 r_2' - J_2^2 r_a \frac{c_1}{c_2} &= J_2^2 (R_v - r_2' - g_{np} x'^2) = \\ J_2^2 \cdot \left[\frac{1}{1 + (c_1 v)^2} \cdot \{r_2' + c_1 x_2 v + (c_1 + c_2) \cos \gamma x_3' v + \sin \gamma x_3' (1 - c_2 c_1 v^2)\} - \right. \\ \left. - r_2' - x_3' \sin \gamma \right] &= \\ J_2^2 \cdot \frac{1}{1 + (c_1 v)^2} \{c_1 v x_2' - r_2' c_1^2 v^2 + v x_3' \cos \gamma (c_1 + c_2) - x_3' \sin \gamma c_1 v^2 (c_1 + c_2)\} & \cdot \end{aligned}$$

Изъ послѣдняго выраженія видно, что W_2' равно нулю: 1) когда $v = 0$ т. е. въ точкѣ K и 2) когда

$$v [x_3' \sin \gamma c_1 (c_2 + c_1) + c_1^2 v_2'] = c_1 x_2' + x_3' \cos \gamma (c_2 + c_1),$$

т. е. при

$$v = \frac{c_1 x_2' + x_3' \cos \gamma (c_2 + c_1)}{c_1^2 r_2' + x_3' \sin \gamma (c_2 + c_1) \cdot c_1} \quad (32)$$

Такимъ образомъ вторая точка строится по вычисленной скорости.

Такъ какъ моментъ $M = W_2' : 2\pi \frac{n}{60}$, то при $W_2' = 0$ и конечной скорости онъ также равенъ нулю, слѣдовательно, линія моментовъ пересѣкаетъ окружность въ той-же точкѣ, гдѣ и линія механической мощности, что даетъ возможность избѣгнуть вычислениѧ этой точки, когда она уже получена для линіи моментовъ.

Суммарные потери въ роторѣ $V_p = J_2'^2 \left(r_2 + \frac{c_1}{c_2} r_a \right)$ представляются очевидно разстоянiemъ точекъ окружности отъ линіи MN .

Такъ какъ $W_2' = W_a - V_p$, то три линіи представляюція W_2' , W_a и $V_p - JK$, gh и MN должны пересѣкаться въ одной точкѣ S_3 *); это свойство служить для контроля правильности построенія

Суммарные потери всего мотора $V_e = V_c + V_p$ опредѣляются разстоянiemъ точекъ окружности отъ линіи FD , проходящей, во первыхъ, черезъ точку пересѣченія линій $S_2 MN$ и $S_1 U$ (рис. 18 т. I) и, во вторыхъ, черезъ точку D пересѣченія линій KJ и AB (рис. 16).

Опуская перпендикуляръ $G_2 OG$ (рис. 16) изъ точки O на линію KJ , мы получаемъ наибольшую механическую мощность мотора въ видѣ отрѣзка абсциссы между точкой G_1 и линіей KJ и для генератора между G_2 и KJ .

Подобнымъ же образомъ отрѣзокъ абсциссы черезъ O между E_1 и осью ординатъ даетъ наибольшую электрическую мощность, поглащающую моторомъ, а подобный же отрѣзокъ между E_2 и AB наибольшую электрическую мощность, отдаваемую генераторомъ.

Коеффицієнтъ полезного дѣйствія $\eta = \frac{W_2'}{W_1} = \frac{W_1 - V_e}{W_1}$ строится слѣдующимъ образомъ. Проведемъ на нѣкоторомъ разстояніи подъ осью ординатъ прямую параллельную ей и отрѣзокъ ея между линіями KJ и FD раздѣлимъ на 100 частей, тогда продолженіе линіи соединяющей произвольную точку окружности съ точкой D , пересѣченія линій KJ и FD , отсѣкаетъ на этой параллели отрѣзокъ, представляющій въ процентахъ коеффиціентъ полезного дѣйствія мотора.

Когда точка T совпадеть съ K и A , то лучъ TD совпадеть съ KJ , коеффиціентъ полезного дѣйствія $\eta = 0$, когда лучъ DT касателенъ къ окружности K_p , коеффиціентъ полезного дѣйствія имѣеть наибольшее значеніе.

*) См. Arnold. W. T., B. I.

10. Непосредственное построение круговой диаграммы.

Въ § 6 мы видѣли, что радиусъ и координаты центра круга K_p опредѣляются формулами 24а, 24б и 24с. Вводя въ нихъ обозначенія:

$x_4' = \frac{c_2}{c_1}$, $x_3' = \frac{c_2}{c_1} \cdot x_{np}' \cos \gamma = x_{nd}' \cos \gamma$, $x_{II} = x_3' + x_2'$, $x_{III} = x_4' + x_3' + x_2'$, $r_s = r_1 + r_2'$ и $x_s = x_1 + x_2'$, получаемъ

$$\rho = \frac{x_{III}}{2x_4'(x_3' + r_s \sin \gamma + x_s) + 2x_1 x_{II}}, \quad (33a)$$

$$\xi_0 = \frac{(x_3' + x_4') \sin \gamma - r_2'}{2x_4'(x_3' + r_s \sin \gamma + x_s) + 2x_1 x_{II}}, \quad (33b)$$

$$\eta_0 = \frac{(x_3' + x_4') \cos \gamma + x_2'}{2x_4'(x_3' + r_s \sin \gamma + x_s) + 2x_1 x_{II}}. \quad (33c)$$

По этимъ формуламъ и можетъ быть полученъ непосредственно кругъ K_p .

Въ томъ же параграфѣ мы нашли, что абсцисса точки T' въ системѣ координатъ съ началомъ въ точкѣ A' выражается формулой 22; замѣняя въ ней $\cos \gamma$ и $\cos 2\gamma$ единицей и пренебрегая членами $r_2'^2 \sin \gamma$, $2x_3' r_2' \sin^2 \gamma$, $c_2 v x_3' r_2' \sin 2\gamma$, $r_2'^2$ и $2x_3' \left(1 + \frac{c_2}{c_1}\right) r_2' \sin \gamma$, какъ небольшими, получаемъ послѣ нѣкоторыхъ преобразованій

$$T'H' = \frac{\left| \sin \gamma \left[(x_2' + x_3')^2 + \frac{c_2}{c_1} x_3'^2 \right] + \right.}{\left. + \frac{c_2}{c_1} x_3' r_2' + c_2 v x_3' \left[x_2' + x_3' \left(1 + \frac{c_2}{c_1} \right) \right] \right|} \frac{c_2}{c_1} x_3'.$$

Подобнымъ же образомъ мы найдемъ и ординату точки T' (рис. 12).

$$A'H' = \frac{1}{T'A'} \cos T'A'H' = \frac{1}{T'A'} \cdot \frac{OH' + \frac{\cos \gamma}{\frac{c_2}{c_1} x_3'} - \frac{\cos \delta_v}{Z_{2v}} + \frac{\cos \gamma}{\frac{c_2}{c_1} x_3'}}{T'A'} = \frac{\left(X_{2v} \frac{c_2}{c_1} x_3' + Z_{2v}^2 \cos \gamma \right) \frac{c_2}{c_1} x_3'}{(T'A')^2} =$$

$$= \frac{\frac{c_2}{c_1} x_3' + Z_{2v}^2 + 2 \frac{c_2}{c_1} x_3' (X_{2v} \cos \gamma + R_{2v} \sin \gamma)}{\frac{c_2}{c_1} x_3' + Z_{2v}^2 + 2 \frac{c_2}{c_1} x_3' (X_{2v} \cos \gamma + R_{2v} \sin \gamma)}$$

Откуда подставляя значения X'_{2r} , R'_{2r} и Z'_{2r} и дѣлая преобразованія получаемъ

$$A'H = \frac{\left[\cos \gamma \left\{ r_2'^2 + x_2'^2 + x_3' \left(1 + \frac{c_2}{c_1} \right) + 2x_3' (r_2' \sin \gamma + x_2' \cos \gamma) \right\} + \right.}{\left. + \frac{c_2}{c_1} x_3' x_2' - v c_2 x_3' (x_3' \sin \gamma \left(1 + \frac{c_2}{c_1} \right) - r_2' \cos 2\gamma + x_2' \sin 2\gamma) \right] \cdot \frac{c_2}{c_1} x_3' \\ r_2'^2 + x_2'^2 + x_3'^2 \left(1 + \frac{c_2}{c_1} \right)^2 + 2x_3' \left(1 + \frac{c_2}{c_1} \right) (x_2' \cos \gamma + r_2' \sin \gamma)}$$

Пренебрегая членами $2x_3' r_2' \sin \gamma$, $r_2'^2$, $2x_3' \left(1 + \frac{c_2}{c_1} \right) r_2' \sin \gamma$ и замѣняя $\cos \gamma$ единицей, послѣ небольшихъ преобразованій

$$A'H = \frac{\left\{ (x_2' + x_3') \left[x_2' + x_3' \left(1 + \frac{c_2}{c_1} \right) \right] - \right.}{\left. - v c_2 x_3' \left[\sin \gamma x_3' \left(1 + \frac{c_2}{c_1} \right) - r_2' \cos 2\gamma + x_2' \sin 2\gamma \right] \right\} \frac{c_2}{c_1} x_3' \\ \left[x_2' + x_3' \left(1 + \frac{c_2}{c_1} \right) \right]^2$$

Координаты точки T' въ системѣ координатъ съ началомъ въ точкѣ A будутъ:

$$AH'_1 = \frac{\left\{ (x_2' + x_3') \left[x_2' + x_3' \left(1 + \frac{c_2}{c_1} \right) \right] - \right.}{\left. - v \cdot c_2 \cdot x_3' \left[\sin \gamma x_3' \left(1 + \frac{c_2}{c_1} \right) - r_2' \cos 2\gamma + x_3' \sin 2\gamma \right] \right\} \frac{c_2}{c_1} x_3' \\ + x_1, \quad (34)$$

$$TH'_1 = \frac{\left\{ \sin \gamma \left[(x_2' + x_3')^2 + \frac{c_2}{c_1} x_3'^2 \right] + \right.}{\left. + \frac{c_2}{c_1} x_3' r_2' + c_2 v \cdot x_3' \left[x_2' + x_3' \left(1 + \frac{c_2}{c_1} \right) \right] \right\} \frac{c_2}{c_1} x_3' \\ + r_1, \quad (35)$$

а уголъ, который составляетъ векторъ AT' съ осью абсциссъ

$$\angle X A T = \angle \varphi_1 = \arctg \frac{\left\{ (x_2' + x_3') \left[x_2' + x_3' \left(1 + \frac{c_2}{c_1} \right) \right] - v c_2 x_3' \left[\sin \gamma x_3' \left(1 + \frac{c_2}{c_1} \right) - r_2' \cos 2\gamma + \right. \right.}{\left. \left. + x_2' \sin 2\gamma \right] \right\} \frac{c_2}{c_1} x_3' + x_1 \left[x_2' + x_3' \left(1 + \frac{c_2}{c_1} \right) \right]^2}{\left\{ \sin \gamma \left[(x_2' + x_3')^2 + \frac{c_2}{c_1} x_3'^2 \right] + \frac{c_2}{c_1} x_3' r_2' + \right.} \\ \left. + c_2 v x_3' \left[x_2' + x_3' \left(1 + \frac{c_2}{c_1} \right) \right] \right\} \frac{c_2}{c_1} x_3' + r_1 \left[x_2' + x_3' \left(1 + \frac{c_2}{c_1} \right) \right]^2}. \quad (36)$$

При неподвижномъ положеніи якоря онъ будетъ

$$\angle X A K = \angle \varphi_{1k} = \arctg \frac{(x_2' + x_3') \left[x_2' + x_3' \left(1 + \frac{c_2}{c_1} \right) \right] \frac{c_2}{c_1} x_3' + x_1 \left[x_2' + x_3' \left(1 + \frac{c_2}{c_1} \right) \right]^2}{\left\{ \sin \gamma \left[(x_2' + x_3')^2 + \frac{c_2}{c_1} x_3'^2 \right] + \frac{c_2}{c_1} x_3' r_2' \right\} \frac{c_2}{c_1} x_3' + r_1 \left[x_2' + x_3' \left(1 + \frac{c_2}{c_1} \right) \right]^2} = \\ = \arctg \frac{x_{11} \cdot x_{111} \cdot x_4' + x_1 \cdot x_{111}^2}{\sin \gamma (x_{11}^2 + x_4' \cdot x_3') + x_4' r_2'} \quad (36a)$$

а при синхронизмѣ

$$\angle \varphi_{1e} = \angle X A C = \arctg \frac{\left\{ (x_2' + x_3') \left[x_2' + x_3' \left(1 + \frac{c_2}{c_1} \right) \right] - c_2 x_3' \left[x_3' \sin \gamma \left(1 + \frac{c_2}{c_1} \right) - r_2' \cos 2\gamma + \right. \right.}{\left. \left. + x_2' \sin 2\gamma \right] \right\} \frac{c_2}{c_1} x_3' + x_1 \left[x_2' + x_3' \left(1 + \frac{c_2}{c_1} \right) \right]^2}{\left\{ \sin \gamma \left[(x_2' + x_3')^2 + \frac{c_2}{c_1} x_3'^2 \right] + \right.} \\ \left. + \frac{c_2}{c_1} x_3' r_2' + c_2 x_3' \left[x_2' + x_3' \left(1 + \frac{c_2}{c_1} \right) \right] \right\} \frac{c_2}{c_1} x_3' + r_1 \left[x_2' + x_3' \left(1 + \frac{c_2}{c_1} \right) \right]^2 \\ x_{11} \cdot x_{111} \cdot x_4' + x_1 x_{111} - \\ = \arctg \frac{-c_2 x_3' [(x_3' + x_4') \sin \gamma - r_2' \cos 2\gamma + x_2' \sin 2\gamma] x_4'}{\sin \gamma (x_{11}^2 + x_4' x_3') + x_4' r_2'} \quad (36b)$$

Такимъ образомъ мы получаемъ точки K и C круга K_p . Вторичный и намагничивающій токи, линіи потерь, мощностей, моментовъ, скорости и коеффиціентъ полезнаго дѣйствія получаются, какъ выше описано. Если не желаютъ строить линіи потерь, то коеффиціентъ полезнаго дѣйствія съ достаточной точностью получается очень просто замѣной линіи суммарныхъ потерь мотора параллельной линіи скорости. Это

возможно вслѣдствіе того, что направленіе линіи суммарныхъ потерь-мотора, при нормальному положеніи щетокъ, обыкновенно очень мало отличается отъ параллели къ линіи омическихъ потерь статора.

Подобнымъ образомъ построены діаграммы рис. 19, (т. II), 20 и 21 (т. III). Рис. 19 представляетъ діаграммы для тѣхъ-же данныхъ какъ и на рис. 16, но при различныхъ положеніяхъ щетокъ. Кругъ K_p (рис. 16 и 19) построенъ при $\lambda=19^0$, кругъ K_{p_1} (рис. 19) для $\lambda=11^030'$, кругъ K_{p_2} при $\lambda=32^0$. Съ уменьшениемъ λ , какъ это видно изъ рисунка, діаметръ круга сильно возрастаетъ, а точки K и C приближаются къ A . На рис. 20 представлены круговые діаграммы, для крайнихъ положеній щетокъ, K_{p_90} для $\lambda=90^0$ и K_{p_0} для $\lambda=0$, при чмъ масштабъ круга K_{p_90} въ 5 разъ больше, чмъ K_{p_0} . На рис. 21 представлены 3 діаграммы при одномъ и томъ же положеніи щетокъ, но съ различнымъ x_{nd} . Кругъ K_p —тотъ-же, что и на рис. 16, кругъ $K_{p_{11}}$ съ x_{nd} , составляющимъ 0,725 отъ x_{nd} въ кругѣ K_p , и кругъ $K_{p_{12}}$ съ x_{nd} въ 1,2 разъ большимъ, чмъ x_{nd} въ кругѣ K_p . Съ увеличеніемъ x_{nd} діаметръ круга уменьшается, а точки K и C приближаются къ A .

11. Первичный, вторичный и намагничивающій токи мотора и вліяніе на нихъ постоянныхъ.

Какъ мы видѣли выше, вторичный токъ

$$J_2' = Y_{2v'} \cdot E_2' = Y_{2v} \cdot E_1 = \frac{E_1}{Z_{2v'}},$$

намагничивающій токъ

$$J_a = y_a \cdot E_1$$

и первичный

$$J_1 = J_2' + J_a = E_1 (Y_{2v'} + y_a) = E_1 \left(\frac{1}{Z_{2v'}} + y_a \right) = P_1 \cdot Y_s = \frac{P_1}{z_1 + \frac{1}{Y_{2v} + y_a}} \quad (37)$$

Откуда

$$\frac{P_1}{1 + \frac{z_1}{Z_{2v'}} + z_1 \cdot y_a} = \frac{P_1}{z_1 \left(\frac{1}{z_1} + \frac{1}{Z_{2v'}} + y_a \right)} = \frac{P_1}{z_1 (y_x + Y_{2v'})}, \quad (38)$$

$$J_a = \frac{y_a \cdot P_1}{1 + \frac{z_1}{Z_{2v'}} + y_a \cdot z_1} = \frac{y_a}{z_1} \cdot \frac{P_1}{(y_x + Y_{2v'})} \quad (39)$$

и

$$J_2' = \frac{P_1}{Z_{2r'}(1 + z_1 y_a) + z_1} = \frac{P_1}{z_1(Z_{2r'} \cdot y_1 + 1)}, \quad (40)$$

$$\text{гдѣ } y_1 = y_a + \frac{1}{z_1} = y_a + \dot{y}_1.$$

На рис. 22 (т. III) представлены въ прямоугольныхъ координатахъ, въ зависимости отъ скорости, для трехъ различныхъ угловъ сдвига щетокъ, первичный и вторичный токи, получающіеся изъ діаграммы рис. 19. Первичный токъ J_1 при $v = \infty$ равенъ нулю; съ уменьшениемъ v медленно возрастаетъ, при нѣкоторомъ v становится равнымъ вторичному, затѣмъ больше его, между $v=1$ и $v=0$ возрастаетъ быстро, при нѣкоторой отрицательной скорости достигаетъ максимума и затѣмъ, уменьшаясь по мѣрѣ увеличенія v , при $v = -\infty$ становится равнымъ нулю. Вторичный токъ J_2' при $v = \infty$ равенъ намагничивающему J_a при разомкнутомъ роторѣ, съ увеличеніемъ скорости увеличивается, при нѣкоторой отрицательной скорости достигаетъ максимума и, уменьшаясь съ увеличеніемъ v , при $v = -\infty$ снова равенъ намагничивающему. Электродвижущая сила отъ пульсациіи продольнаго потока E_1 (въ прямоугольныхъ координатахъ не представлена) при $v = \infty$ равна приложеному напряженію P_1 , при уменьшеніи v уменьшается, достигаетъ минимума при нѣкоторой отрицательной скорости въ точкѣ, гдѣ J_1 имѣетъ максимумъ, увеличивается по мѣрѣ увеличенія $-v$, при нѣкоторой конечной скорости становится равной приложеному напряженію, затѣмъ больше его, переходитъ черезъ максимумъ и при $v = -\infty$ равна опять P_1 . Намагничивающій токъ въ своихъ измѣненіяхъ слѣдуетъ, конечно, за измѣненіями E_1 .

При поднятыхъ щеткахъ $Z_{2r'} = \infty$, и изъ ур. 37, 39 и 40 имѣемъ первичный токъ

$$J_1 = \frac{P_1}{z_1 + \frac{1}{y_a}} = \frac{P_1}{z_1 + z_a} = \frac{P_1}{z_1} = J_a,$$

гдѣ $z_1 = z_1 + z_a$, и вторичный токъ $J_2' = 0$.

При $\lambda = 90^\circ$ для моторовъ Томсона и Аткинсона и при $\lambda = 180^\circ$ для мотора Дери $c_1 = 0$, $c_2 = \infty$, $Z_{2r'}$, какъ это видно изъ форм. 12, при всѣхъ конечныхъ скоростяхъ равно безконечности, $J_1 = J_a = \frac{P_1}{z_1}$. Векторъ первичнаго тока J_1 движется по окружности (рис. 20 $K_{p_{90}}$) съ радиусомъ:

$$\rho = \frac{x_{3,0} + x_2}{2[x_4'(x_{3,0} + r_2 \sin \gamma + x_2) + x_1(x_{3,0} + x_2)]} \approx \frac{1}{2(x_1 + x_4')}$$

и координатами центра

$$\xi_0 = \frac{x_{3,0} \sin \gamma - r_2}{2(x_1 + x_4')(x_{3,0} + x_2)}, \quad \eta_0 = \frac{x_{3,0} \cos \gamma + x_2}{2(x_1 + x_4')(x_{3,0} + x_2)}.$$

Эти формулы получаются изъ 23а, 23б и 23с сокращенiemъ на $\frac{u^2}{c_2} = 0$. При $v = \infty$ первичный токъ равенъ нулю. Приведенный вторичный токъ J_2' равенъ нулю при конечныхъ скоростяхъ и намагничающему при $v = \infty$, а действительный вторичный токъ $J_2 = J_2'$ при $v = 0$ равенъ нулю, а при $v = \infty$ безконечно великъ (такъ какъ

при $\frac{c_2}{c_1} = 0 \quad u = \infty$).

Съ уменьшениемъ угла сдвига щетокъ, діаметръ окружности увеличивается, и первичный и вторичный токи для всѣхъ конечныхъ скоростей увеличиваются; на рис. 22 представлены въ прямоугольныхъ координатахъ кривыя измѣненія токовъ, въ зависимости отъ скорости, для угловъ сдвига щетокъ въ 32° , 19° и $11^\circ 30'$.

При $\lambda = 0^\circ - x_3' = 0$ и радиусъ круга равенъ

$$\rho = \frac{x_4' + x_2'}{2\{x_4'[(r_1 + r_2') \sin \gamma + (x_1 + x_2')] + x_1 x_2'\}},$$

а координаты центра

$$\xi_0 = \frac{x_4' \sin \gamma - r_2'}{2\{x_4'[(r_1 + r_2') \sin \gamma + (x_1 + x_2')] + x_1 x_2'\}},$$

$$\eta_0 = \frac{x_4' \cos \gamma + x_2'}{2\{x_4'[(r_1 + r_2') \sin \gamma + (x_1 + x_2')] + x_1 x_2'\}}.$$

Первичный токъ при $\lambda = 0^\circ$ и при $v = 0$, который можетъ быть названъ токомъ короткаго замыканія, получается изъ ур. 34 и 35

$$J_{1km} = \frac{P_1}{V(AH_1')^2 + (TH_1')^2} = \\ = \frac{P_1 \cdot (x_2' + x_4')^2}{V[x_4' x_2' (x_2' + x_4') + x_1 (x_2' + x_4')]^2 + [x_4' (x_2'^2 \sin \gamma + x_4' r_2') + r_1 (x_2' + x_4')^2]^2}$$

или, замѣняя $x_2'^2 \sin \gamma$ черезъ $x_2' r_2'$, имѣемъ

$$J_{1km} \approx \frac{P_1 (x_2' + x_4')}{V[x_4' \cdot x_2' + x_1 (x_2' + x_4')]^2 + [r_2' \cdot x_4' + r_1 (x_2' + x_4')]^2}.$$

Надо замѣтить, что это не наибольшій возможный токъ мотора.

Намагничающій токъ первичной цѣпи J_a при $v = \infty$ для всѣхъ положеній щетокъ имѣетъ одно и то же значеніе и при измѣненіи скорости, при различныхъ углахъ сдвига щетокъ, лишь только измѣняетъ амплитуду колебаній. Намагничающій токъ вторичной цѣпи, равный $J_a \cdot u$, измѣняется въ зависимости отъ измѣненія u ; при $v = \infty$ и $\frac{c_2}{c_1} = 0$ онъ безконечно великъ.

На рис. 23 (т. III) представлены кривыя измѣненія первичного и дѣйствительного вторичного токовъ, въ зависимости отъ измѣненія угловъ сдвига щетокъ, при неподвижномъ роторѣ J_{1k} и J_{2k} (пунктиромъ) и при синхронизмѣ J_{1c} и J_{2c} , полученные изъ ряда круговыхъ діаграммъ. Мы видимъ, что при $\lambda = 90^\circ$ и $\lambda = 0^\circ$ $J_{1c} = J_{2k}$, объясненіе чemu мы найдемъ позже. Кроме того, при большихъ углахъ сдвига щетокъ токъ при неподвижномъ роторѣ меньше, чѣмъ при синхронизмѣ.

Уравненія 23а, 23б и 23с показываютъ, что радиусъ круга, а, следовательно, первичный и вторичный токи при одномъ и томъ же по-

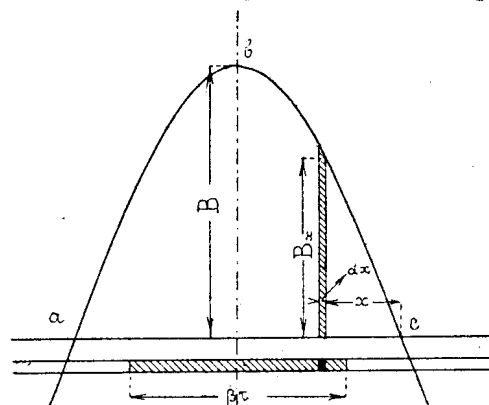


Рис. 24.

ложеніи щетокъ увеличиваются съ уменьшеніемъ x_3' , x_1 , x_2' , r_1 , r_2' и γ . Сопротивленія первичной и вторичной цѣпей и уголъ γ не оказываютъ большого вліянія на радиусъ, но двѣ послѣднія величины r_2' и γ имѣютъ большое влияніе на положеніе центра круга. Какъ мы видѣли, во всѣхъ діаграммахъ центръ круга лежитъ выше оси ординатъ, если же принять $\gamma = 0^\circ$, то онъ будетъ лежать ниже ея. Это обстоятельство и

заставило автора принять во вниманіе уголъ γ , несмотря на то, что въ репульсіонныхъ моторахъ, благодаря слабому насыщенію желѣза, онъ особенно малъ.

Рис. 21 иллюстрируетъ измѣненіе круговой діаграммы вслѣдствіе измѣненія реакціи поперечной катушки при неизмѣнныхъ прочихъ постоянныхъ мотора и одномъ и томъ же положеніи щетокъ. Соответственно съ измѣненіемъ x_3' измѣняется, конечно, и намагничающій токъ, уменьшаясь съ увеличеніемъ x_3' , и наоборотъ.

12. Вращающій моментъ мотора и вліяніе на него постоянныхъ.

Пусть въ синусоидальномъ магнитномъ полѣ abc (рис. 24) находится катушка, шириной $\beta\tau$ съ числомъ витковъ βw_2 , черезъ которые

текеть токъ J_2 . Сила взаимодѣйствія между полемъ и катушкой для пары полюсовъ выражается въ kg:

$$\begin{aligned} F &= 2 \cdot \frac{10}{9,81} \cdot l \cdot 2 \int_{\frac{\pi - 3\pi}{2}}^{\frac{\pi}{2}} B_x \cdot J_2 \sqrt{2} \cdot \frac{w_2}{\tau} \cdot dx = \\ &= \frac{\sqrt{2} \cdot 4 \cdot 10}{9,81} \cdot l \cdot B \cdot J_2 \cdot \frac{w_2}{\tau} \int_{z_0}^{\frac{\pi}{2}} \sin \alpha \cdot \frac{D}{2} \cdot d\alpha. \end{aligned}$$

Такъ какъ J_2 и B колебляются во времени по синусоидѣ и смещены на уголъ ψ , то средняя сила взаимодѣйствія

$$\begin{aligned} F &= \frac{4 \cdot \sqrt{2} \cdot 10}{9,81 \cdot 2 \cdot 2} \cdot l \cdot D \cdot B \cdot J_2 \cdot \frac{w_2}{\tau} \sin(90 - \alpha_0) \cos \psi = \\ &= \frac{\sqrt{2} \cdot 10 \cdot 2}{9,81 \pi} \cdot l \cdot B \cdot J_2 \cdot w_2 \cdot \cos \psi \cdot \sin(90 - \alpha_0), \end{aligned}$$

а моментъ въ kgm., если D выражено въ см.,

$$\begin{aligned} M &= \frac{\sqrt{2} \cdot 10}{9,81 \cdot 2} \cdot D^2 \cdot l \cdot B \cdot J_2 \cdot \frac{w_2}{\tau} \cdot \sin(90 - \alpha_0) \cos \psi = \\ &= \frac{\sqrt{2} \cdot 10}{\pi \cdot 9,81} \cdot D \cdot l \cdot B \cdot J_2 \cdot w_2 \cdot \sin(90 - \alpha_0) \cos \psi. \end{aligned}$$

Такимъ образомъ моментъ продольной катушки въ поперечномъ полѣ для моторовъ Томсона и Аткинсона равенъ:

$$M_{np} = -\frac{\sqrt{2} \cdot 10}{9,81 \cdot \pi} \cdot D \cdot l \cdot B_{np} \cdot J_2 \cdot w_2 \cdot \cos \lambda \cdot \cos \gamma;$$

подставляя изъ форм. 6b и 2b значеніе

$$B_{np} = B_{mp} \cdot \frac{\pi^2}{12} \cdot \sin \lambda = \frac{0,4 \cdot \pi \cdot w_2 \sqrt{2} \cdot J_2 \cos \gamma}{\delta} \cdot \frac{\pi^2}{12} \sin \lambda,$$

имѣемъ

$$M_{np} = \frac{10 \cdot 2 \cdot \pi^2}{9,81 \cdot 6} \cdot \frac{D \cdot l}{\delta} \cdot J_2^2 \cdot w_2^2 \sin 2\lambda \cdot \cos^2 \gamma,$$

а моментъ поперечной катушки въ продольномъ полѣ

$$M_{nd} = \frac{2 \cdot 10}{\pi \cdot 9,81} D \cdot l \cdot B_{nd} \cdot J_2 \cdot w_2 \cdot \sin \lambda \cos (B_{nd}, J_2).$$

Мы можемъ принять, что B_{nd} съ достаточнымъ приближеніемъ выражается формулой (точной при $v = \infty$), подобной для B_{np} :

$$B_{nd} = \frac{0,4 \cdot \pi \cdot w_2 \sqrt{2} \cdot J_a \cdot \cos \gamma}{\delta''} \cdot \frac{\pi^2}{12} \cos \lambda.$$

Подставляя это значеніе B_{nd} , получаемъ

$$M_{nd} = \frac{2 \cdot 10 \cdot \pi^2}{6 \cdot 9,81} \cdot \frac{D \cdot l}{\delta''} \cdot w_2^2 \cos \gamma \cdot J_2 \cdot J_a \cos (B_{nd}, J_2) \sin 2\lambda.$$

Если токи выражены въ приведенныхъ значеніяхъ, то

$$M_{np} = \frac{2 \cdot 10 \cdot \pi^2}{9,81 \cdot 6} \cdot \frac{D \cdot l}{\delta''} \cdot J_2'^2 \cdot u^2 \cdot w_2^2 \cos^2 \gamma \sin 2\lambda$$

и

$$M_{nd} = \frac{2 \cdot 10 \cdot \pi}{9,81 \cdot 6} \cdot \frac{D \cdot l}{\delta''} \cdot J_2' \cdot J_a u^2 \cos (B_{nd}, J_2') w_2^2 \cos \gamma \sin 2\lambda.$$

Для мотора Дери

$$M_{np} = \frac{\sqrt{2} \cdot 10}{\pi \cdot 9,81} \cdot D \cdot l \cdot B_{np} \cdot J_2 \cdot w_2 \cos \gamma \cdot \frac{1}{2} (1 + \cos \lambda);$$

подставляя значеніе

$$B_{np} = \frac{0,4 \cdot \pi \cdot w_2 \sqrt{2} \cdot J_2 \cos \gamma}{\delta''} \frac{\pi^2}{12} \sin \frac{\lambda}{2},$$

получаемъ

$$M_{np} = \frac{10 \cdot 2 \cdot \pi^2}{9,81 \cdot 3} \cdot \frac{D \cdot l}{\delta''} \cdot J_2^2 \cdot w_2^2 \cdot \cos^2 \gamma \cdot \sin \lambda \cos \frac{\lambda}{2},$$

и моментъ поперечной катушки въ продольномъ полѣ

$$M_{nd} = \frac{\sqrt{2} \cdot 10}{\pi \cdot 9,81} \cdot D \cdot l \cdot B_{nd} \cdot J_2 w_2 \cos (B_{nd}, J_2) \sin \lambda.$$

Подставляя, какъ для моторовъ Томсона и Аткинсона, значеніе

$$B_{nd} = \frac{0,4 \cdot \pi \cdot w_2 \sqrt{2} J_a \cos}{\delta''} \cdot \frac{\pi^2}{12} \cos \frac{\lambda}{2},$$

имѣемъ

$$M_{nd} = \frac{2 \cdot 10 \cdot \pi^2}{9,81 \cdot 3} \cdot \frac{-9}{\delta''} \cdot J_2 J_a \cos(B_{nd}, J_2) w_2^2 \cos \gamma \sin \lambda \cos \frac{\lambda}{2}.$$

При токахъ въ приведенныхъ значеніяхъ

$$M_{np} = \frac{2 \cdot 10 \cdot \pi^2}{9,81 \cdot 3} \cdot \frac{-9}{\delta''} \cdot J_2'^2 \cdot u^2 w_2^2 \cos^2 \gamma \sin \lambda \cos \frac{\lambda}{2} \quad (41)$$

и

$$M_{nd} = \frac{2 \cdot 10 \cdot \pi^2}{9,81 \cdot 3} \cdot \frac{-9}{\delta'} \cdot J_2' J_a \cdot u^2 \cos(B_{nd}, J_2) w_2^2 \cos \gamma \sin \lambda \cos \frac{\lambda}{2}. \quad (42)$$

Такимъ образомъ та постоянная, о которой говорилось въ § 8, для моторовъ Томсона и Аткинсона выражается

$$k = \frac{10 \cdot \pi^2}{9,81 \cdot 3} \cdot \frac{-9}{\delta''} \cdot w_2^2 \cdot u^2 \cdot \cos \gamma \sin 2\lambda, \quad (43a)$$

а для мотора Дери

$$k = \frac{2 \cdot 10 \cdot \pi^2}{9,81 \cdot 3} \cdot \frac{-9}{\delta'} \cdot w_2^2 \cdot u^2 \cos \gamma \sin \lambda \cos \frac{\lambda}{2}. \quad (43b)$$

На рис. 25 (т. IV) представлены въ прямоугольныхъ координатахъ кривыя измѣненія вращающаго момента въ зависимости отъ скорости и при $\lambda=11^0 30'$, $\lambda=19^0$ и $\lambda=32^0$, получающіяся изъ диаграммы рис. 19. Какъ видно изъ этихъ кривыхъ, при $v=\infty$ моментъ равенъ нулю, при уменьшениі скорости сначала отрицателенъ, потомъ переходитъ черезъ нуль и медленно возрастаетъ, незадолго до $v=1$ начинаетъ рѣзко увеличиваться, при $v=0$ имѣть значение, близкое къ максимальному, при небольшой отрицательной скорости переходитъ черезъ максимумъ, затѣмъ, уменьшаясь сначала рѣзко, а потомъ медленнѣе, достигаетъ нуля при безконечно большой отрицательной скорости. Такимъ образомъ въ репульсивныхъ моторахъ наибольшій моментъ лежить въ его рабочей части.

При измѣненіи угла сдига щетокъ моментъ также сильно измѣняется. При $\lambda=90^0$ для моторовъ Томсона и Аткинсона и $\lambda=180^0$ для мотора Дери онъ равенъ нулю, такъ какъ при этихъ углахъ постоянная k , J_2 и J_2' при конечныхъ скоростяхъ равны нулю, вслѣдствіе чего линія моментовъ должна проходить черезъ точку K , въ которую сливаются, какъ мы увидимъ ниже, всѣ остальные точки при конечныхъ скоростяхъ. Съ уменьшеніемъ угла сдига щетокъ k , J_2 и

J_2' имѣютъ конечные значения, моментъ отъ нуля всрастаетъ, сначала медленно, затѣмъ быстро, достигаетъ максимума при очень небольшомъ углѣ сдига щетокъ, затѣмъ рѣзко падаетъ до 0 при $\lambda=0$. Въ этомъ положеніи онъ также равенъ нулю, потому что токи J_2 и J_2' имѣютъ конечные значения, а постоянная k равна нулю.

При $\lambda < 0^{\circ}$ и $\lambda > 90^{\circ}$ для моторовъ Томсона и Аткинсона и для $\lambda < 0^{\circ}$ для мотора Дери постоянная k , какъ это нетрудно видѣть, мѣняетъ свой знакъ, моментъ становится отрицательнымъ, и моторъ мѣняетъ направление вращенія.

На рис. 23 представлены также кривыя измѣненія вращающаго момента въ зависимости отъ угла сдига щетокъ, M_k при неподвижномъ положеніи мотора и M_e —для синхронизма. Изъ этихъ кривыхъ видно, что максимумъ момента при неподвижномъ положеніи ротора достигается при большемъ углѣ сдига щетокъ (90°), чѣмъ момента при синхронизмѣ (45°).

Уголъ, который составляетъ линія моментовъ съ осью абсциссъ, колеблется въ неширокихъ предѣлахъ; поэтому для давнаго положенія щетокъ моментъ возрастаетъ съ увеличеніемъ діаметра круга K_p , слѣдовательно, (рис. 21) съ уменьшеніемъ x_3' , x_1 , x_2' и r_1 . Что касается r_2' и γ , то они, мало вліяя на измѣненіе момента отъ измѣненія радиуса круга, сильно вліяютъ на положеніе линіи моментовъ отъ измѣненія положенія центра круга.

13. Первичная и вторичная мощности мотора и вліяніе на нихъ постоянныхъ.

На рис. 26 (т. IV) представлены кривыя первичной и вторичной мощности въ зависимости отъ скорости для трехъ различныхъ угловъ сдига щетокъ, получающіяся изъ диаграммы рис. 19. При $v = \infty$ первичная мощность равна нулю, а вторичная отрицательна, при уменьшении v обѣ медленно возрастаютъ, при чѣмъ кривая първичной мощности идетъ надъ кривой вторичной, при скорости, опредѣляемой форм. 32, вторичная мощность переходитъ черезъ нуль, при скоростяхъ близкихъ къ синхронизму обѣ кривыя начинаютъ возрастать скрѣе, достигаютъ максимума и, рѣзко падая при дальнѣйшемъ уменьшеніи скорости, переходятъ черезъ нуль—вторичная при $v=0$, а первичная при некоторой отрицательной. Въ генераторной части роли кривыхъ мѣняются: отрицательная вторичная мощность дѣлается больше первичной. Съ увеличеніемъ отрицательной скорости мощности рѣзко возрастаютъ, достигаютъ максимума и при дальнѣйшемъ увеличеніи v

убывають; при $v = -\infty$ первичная равна нулю, а вторичная некоторой отрицательной величинѣ.

Съ измѣненіемъ угла сдвига щетокъ мощности сильно измѣняются. При $\lambda=90^0$ для моторовъ Томсона и Аткинсона и 180^0 для мотора Дери вторичная мощность равна нулю, такъ какъ вторичный токъ равенъ нулю, линія вторичной мощности обращается въ касательную (рис. 20) въ точкѣ K вслѣдствіе того, что скорость во второй точкѣ, гдѣ $W_2=0$,

$$v = \frac{c_1 x_2 u^2 + \frac{x_4' \cdot c_1^2}{c_2} \cos \gamma}{c_1 r_2 u^2 + \frac{x_4' \cdot c_1}{c_2} c_1^2 \sin \gamma} = 0$$

(такъ какъ здѣсь $u = \infty$, $c_2 = 0$, $c_1 = \infty$ и $\frac{u^2 c_2}{c_1^2} = 0$). Первичная мощность при такомъ положеніи щетокъ чрезвычайно мала. Съ уменьшениемъ угла сдвига щетокъ, какъ первичная, такъ и вторичная мощности возрастаютъ, достигаютъ максимума при некоторомъ положеніи щетокъ близкомъ къ продольной оси и затѣмъ съ уменьшеніемъ угла сдвига щетокъ рѣзко падаютъ, вторичная до 0 при $\lambda=0$, а первичная до некоторой довольно значительной величины, идущей только на покрытие потерь короткаго замыканія мотора.

На рис. 27 (т. IV) представлены кривыя первичной мощности W_1 —I и вторичной W_2' —II при синхронизмѣ въ зависимости отъ угла сдвига щетокъ, полученные изъ ряда круговыхъ діаграммъ; при чмѣ кривая W_2' отличается отъ кривой моментовъ M_c рис. 23 очевидно только масштабомъ.

При $\lambda=0$ $c_2=\infty$, $c_1=0$ и скорость во второй точкѣ, гдѣ $W_2'=0$, изъ форм. 32.

$$v = \frac{x_3' c_2 \cos \gamma}{x_2' c_2 c_1 \sin \gamma} = \infty,$$

линія вторичной мощности представляется прямой KA , но въ то же самое время, какъ мы увидимъ ниже, всѣ точки при конечныхъ скоростяхъ сливаются съ точкой K , поэтому и отдаваемая мощность во всѣхъ точкахъ съ конечной скоростью равна нулю. Первичная мощность при $\lambda=0$ представляется отрѣзкомъ KL (рис. 20), одинаковымъ для всѣхъ конечныхъ скоростей.

Съ измѣненіемъ x_2' , r_2' , x_3' и γ положеніе линіи вторичной мощности, какъ это видно изъ форм. 36 и 32, измѣняется очень мало (см. Рис. 21); поэтому съ уменьшеніемъ x_3' , x_2' и x_1 первичная и вторич-

ная мощности увеличиваются. Что касается до r_2' и γ , то они, вліяя очень слабо на вторичную мощность, увеличиваютъ первичную со своимъ увеличеніемъ вслѣдствіе перемѣщенія оси ординатъ.

14. Коэффициенты мощности и полезного дѣйствія мотора и вліяніе на нихъ постоянныхъ.

На рис. 28 (т. IV) кривая I представляетъ измѣненіе коэффициента мощности, а II коэффициента полезного дѣйствія въ зависимости отъ скорости. Мы видимъ, что при $v=0$ $\cos \varphi_1$ имѣеть конечное значеніе и съ увеличеніемъ скорости все время возрастаетъ до 1 при $v=\infty$. Въ дѣйствительности въ репульсіонныхъ моторахъ $\cos \varphi_1$ имѣеть максимумъ; это объясняется сильнымъ вліяніемъ на него ампервитковъ коротко замкнутой катушки. Коэффициентъ полезного дѣйствія равенъ нулю при скорости, опредѣляемой уравн. 32, медленно возрастаетъ, достигаетъ максимума при $v=1,75$ и затѣмъ падаетъ до нуля при $v=0$. Максимумъ коэффициента полезного дѣйствія получается, какъ это и слѣдуетъ ожидать, вслѣдствіе того, что потери въ жељѣзѣ въ репульсіонныхъ моторахъ невелики, при небольшихъ токахъ и, слѣдовательно, при большой скорости.

При $\lambda=90^0$, $u=\infty$, $c_2=0$, $c_1=\infty$ и углы φ_{1k} и φ_{1c} опредѣляются изъ уравн. 36

$$\operatorname{tg} \varphi_k = \operatorname{tg} \varphi_c = \frac{(x_2 + x_{3,90})^2 x_4' + x_1}{\sin \gamma (x_2 + x_{3,90})^2 x_4' + r_1} \frac{(x_2 + x_{3,90})^2}{(x_2 + x_{3,90})^2 x_4' + r_1} = \frac{x_4' + x_1}{\sin \gamma x_4' + r_1},$$

этимъ же выраженіемъ опредѣляется и уголъ φ вообще при всякой конечной скорости; это происходитъ отъ того, что въ ур. 36 членъ, зависящій отъ скорости, равенъ нулю. По этой причинѣ коэффициентъ полезного дѣйствія при $\lambda=90^0$ при всѣхъ конечныхъ скоростяхъ равенъ нулю, такъ какъ всѣ точки окружности при конечныхъ скоростяхъ совпадаютъ съ K .

Съ уменьшеніемъ сдвига щетокъ коэффициентъ мощности и коэффициентъ полезного дѣйствія возрастаютъ, достигаютъ максимума при углахъ сдвига щетокъ, довольно близкихъ къ нулю, и затѣмъ оба рѣзко падаютъ до нуля при $\lambda=0$.

Кривыя III и IV рис. 27 представляютъ коэффициентъ мощности и коэффициентъ полезного дѣйствія при синхронной скорости въ зависимости отъ положенія щетокъ. Изъ этихъ кривыхъ видно, что для того, чтобы моторъ работалъ съ возможно большимъ коэффициентами мощности и полезного дѣйствія, щетки должны находиться въ предѣлахъ $10^0 - 25^0$ отъ продольной оси.

При $\lambda=0$, $c_2=\infty$, $c_1=0$ $x_3'=0$ и углы φ_k , φ_c и вообще для точекъ съ конечной скоростью опредѣляются изъ ур. 36

$$\operatorname{tg} \varphi_k = \operatorname{tg} \varphi_c = \frac{x'_{2,0}(x'_{2,0}+x'_4)x'_4+x_1(x'_{2,0}+x'_4)^2}{(x'^2_{2,0}\sin\gamma+x'_4r'_2)x'_4+r_1(x'_2+x'_4)^2},$$

такъ какъ и здѣсь множитель при членахъ зависящихъ отъ v равенъ нулю, т. е. здѣсь также всѣ точки окружности при конечныхъ скоростяхъ сливаются въ K , а коэффиціентъ полезнаго дѣйствія при конечныхъ скоростяхъ равенъ нулю.

На рис. 30 представлены кривыя коэффиціента полезнаго дѣйствія при $v=2$, $v=1.5$, $v=1.0$, $v=1.75$ и $v=0.5$ въ зависимости отъ измѣненія угла сдвига щетокъ. Какъ изъ этихъ кривыхъ видно, максимумъ коэффиціента полезнаго дѣйствія для данной скорости съ уменьшеніемъ ея перемѣщается къ большимъ угламъ сдвига щетокъ.

На рис. 31 (см. стр. 52), для тѣхъ же пяти скоростей представлены кривыя коэффиціента мощности въ зависимости отъ угла сдвига щетокъ. Надо однако замѣтить, что на кривыя коэффиціента полезнаго дѣйствія, и въ особенности на кривыя мощности оказываетъ сильное вліяніе коротко замкнутая катушка, такъ что дѣйствительныя кривыя мотора отличаются отъ приведенныхъ на рис. 30 и 31 тѣмъ болѣе, чѣмъ дальше скорость мотора отъ синхронной.

Съ уменьшеніемъ x_3' , r_1 и γ и увеличеніемъ x_1 уголъ сдвига фазъ при синхронизмѣ φ_{1c} , какъ это можно видѣть изъ форм. 36 и діаграммы рис. 21, увеличивается, такъ что коэффиціентъ мощности уменьшается. Коэффиціентъ полезнаго дѣйствія при синхронизмѣ уменьшается съ уменьшеніемъ x_3' вслѣдствіе того, что точка синхронизма перемѣщается выше по кругу, и съ увеличеніемъ r_1 , r'_2 и γ вслѣдствіе увеличенія потерь. Надо при этомъ замѣтить, что уменьшеніе коэффиціента полезнаго дѣйствія отъ уменьшенія x_3' связано съ увеличеніемъ мощности.

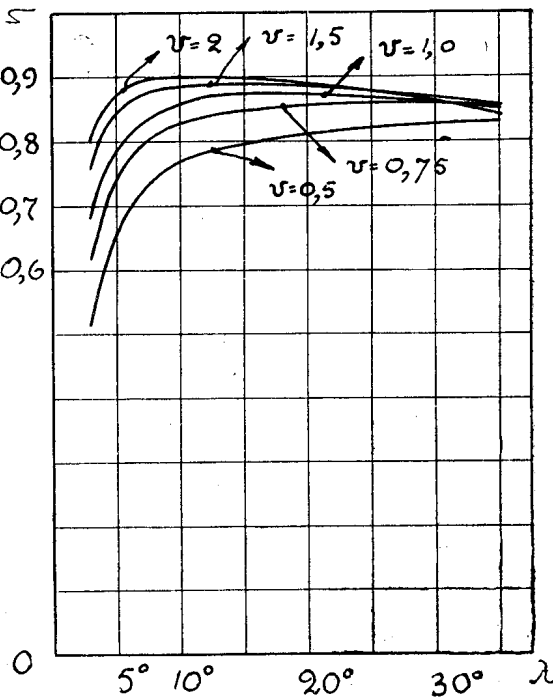


Рис. 30. Коэффиціентъ полезнаго дѣйствія $v=2$, $v=1,5$, $v=1,0$, $v=0,75$ и $v=0,5$ въ зависимости отъ угла сдвига щетокъ.

Въ заключеніе на рис. 29 (т. IV) для нормальнааго положенія щетокъ представлены кривыя первичнаго тока J_1 , скорости v , коэффиціента полезнаго дѣйствія η и коэффициента мощности $\cos \varphi_1$ въ зависимости отъ отдаваемой механической мощности.

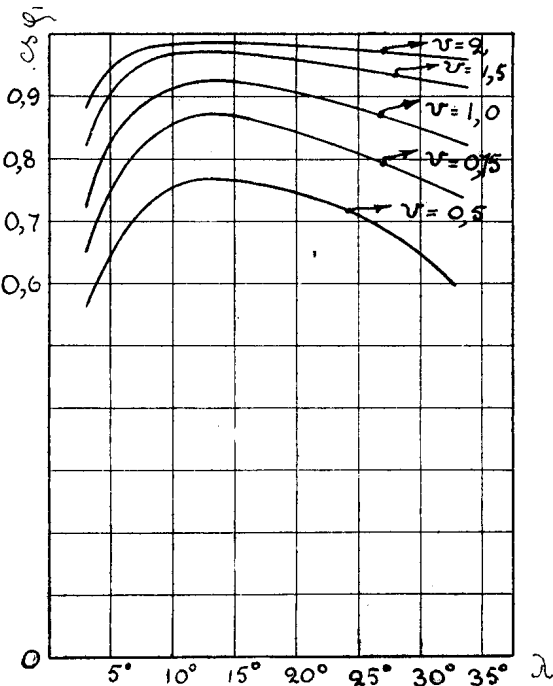


Рис. 36. Коэффициентъ мощности при $v=2$,
 $v=1,5$, $v=1,0$, $v=0,75$ и $v=0,5$ въ зависи-
мости отъ угла сдвига щетокъ,

Заканчивая этимъ настоящую статью, авторъ считаетъ своимъ долгомъ указать, что онъ не принялъ во вниманіе вліяніе короткозамкнутой катушки, которое сказывается, главнымъ образомъ, въ вышесказанномъ измѣненіи кривой коэффициента мощности. Выясненію этого вліянія авторъ надѣется посвятить въ недалекомъ будущемъ свою слѣдующую статью. По той же причинѣ онъ не касается и коммутаціи мотора.

Вс. Хрущовъ.

Томскъ,
декабрь 1911 года.

ЗАМѢЧЕННЫЯ ОПЕЧАТКИ.

Страница.	Строка.	Напечатано.	Должно быть.
3	9 сверху	$w_2 = \frac{N_1}{2}$	$w_1 = \frac{N_1}{2}$
17	13 „	$Z_{v=0} = -\frac{c_2}{c_1} x_3$	$Z_{v=\infty} = -\frac{c_2}{c_1} x_3$
21	12 „	$n \Omega$ въ 1 см	$n \bar{\Omega}$ въ 1 см
40	8 снизу	$+ x_1 x_{\text{III}}$	$+ x_1 x_{\text{III}}^2$

На рис. 27 т. IV $\cos \varphi_1$ при $\lambda=0$ долженъ имѣть значеніе=0,3, а при $\lambda=90^0$ =0,09.

ОГЛАВЛЕНИЕ.

	стр.
1. Введение	1
2. Диаграмма напряжений	6
3. Коэффициент трансформации	8
4. Электродвижущая сила и реакции катушек мотора	10
5. Действующее сопротивление, действующая реакция цепи ротора и функциональная связь между ними	15
6. Построение круговой диаграммы путем последовательных обращений	19
7. Намагничивающей и вторичный токи в круговой диаграмме	28
8. Скорость, сдвиг фазы и момент в круговой диаграмме	31
9. Потери, мощность и коэффициент полезного действия в круговой диаграмме	34
10. Непосредственное построение круговой диаграммы	38
11. Первичный, вторичный и намагничивающей токи мотора и влияние на них постоянных	41
12. Вращающий момент мотора и влияние на него постоянных	44
13. Первичная и вторичная мощности мотора и влияние на них постоянных	48
14. Коэффициенты мощности и полезного действия мотора и влияние на них постоянных	50

Fig. 18.

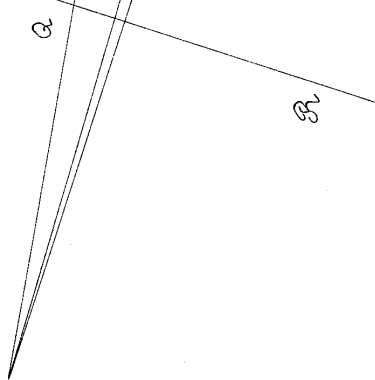
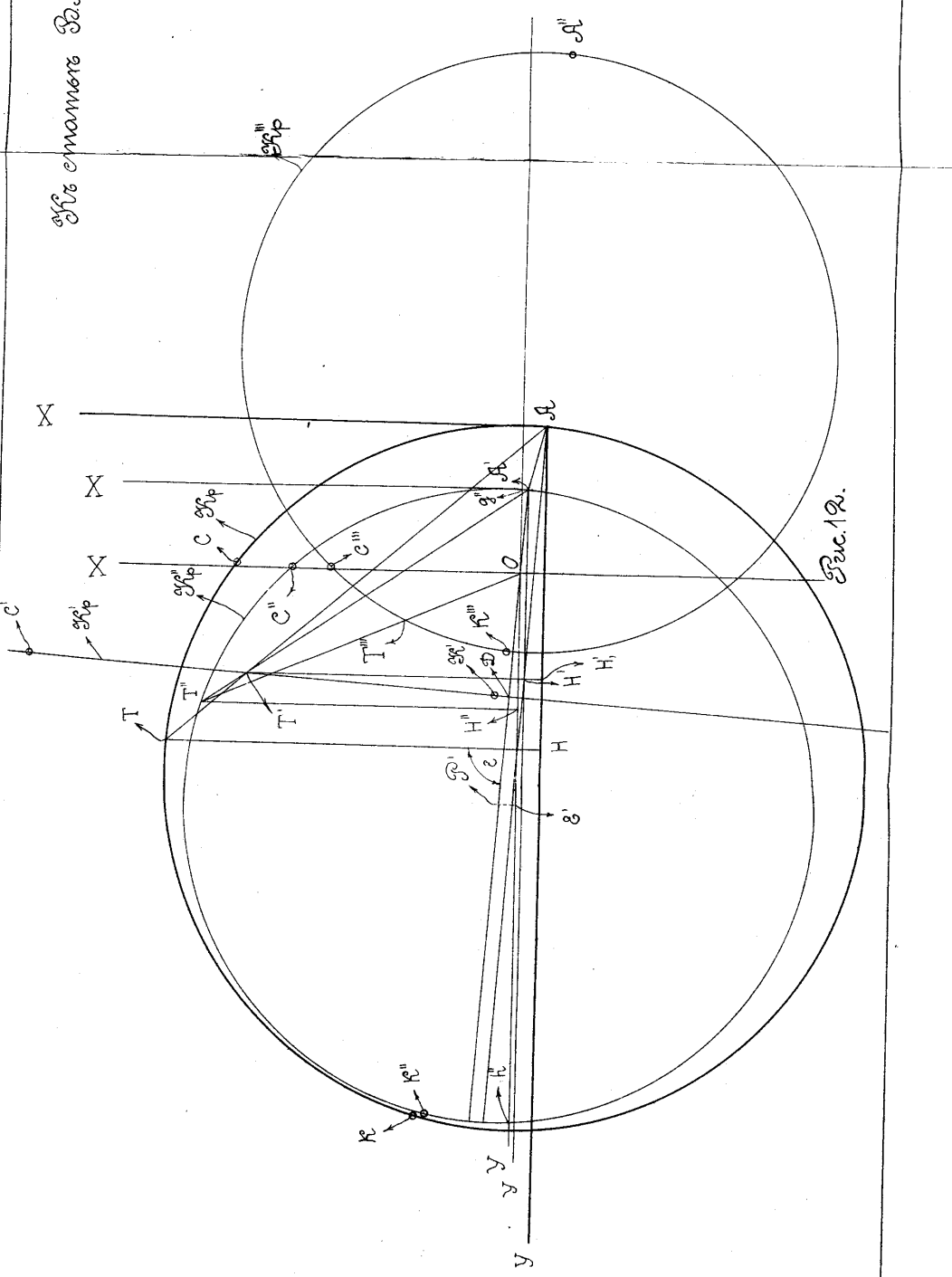
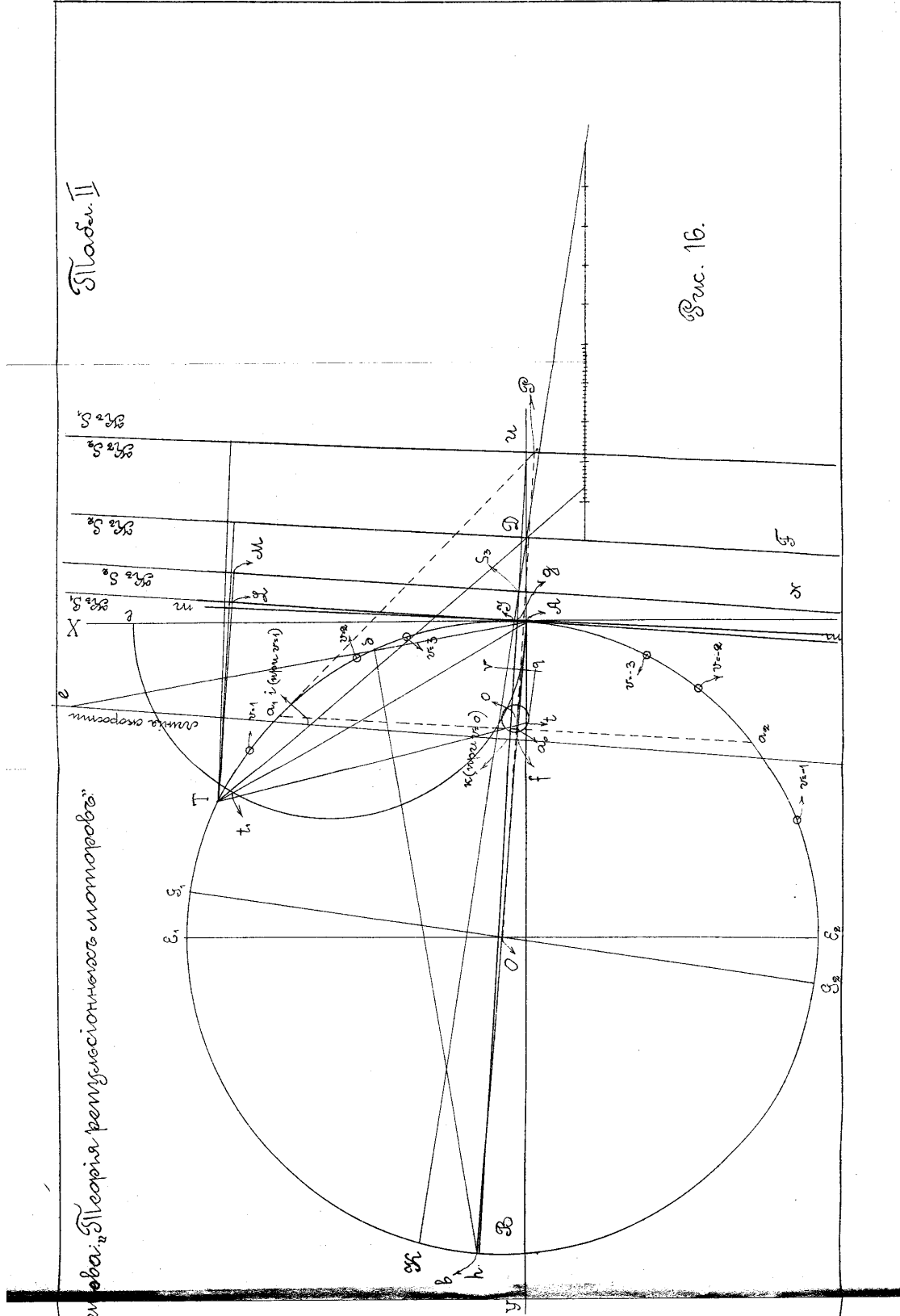


Fig. 19.



En su memoria Dr. M. Espinoza obvió la copia de sus memorias.

Stauder II



SNC. 16.

Fig. 21. M. Kognoska. Stroenie peresecionnykh monomov?

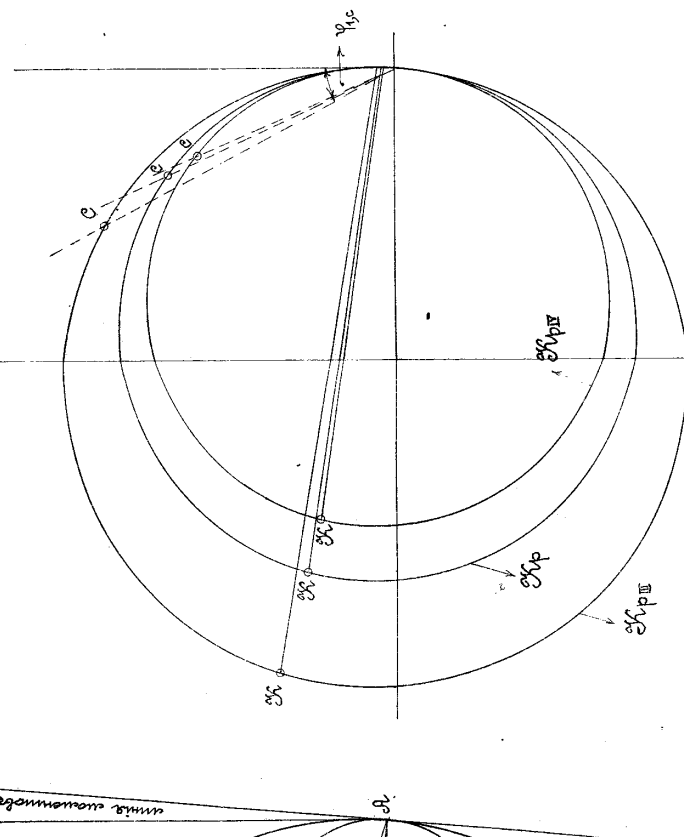


Fig. 21. Структура пересечений
изоморфных симметрических полиномов
одинакового количества членов.

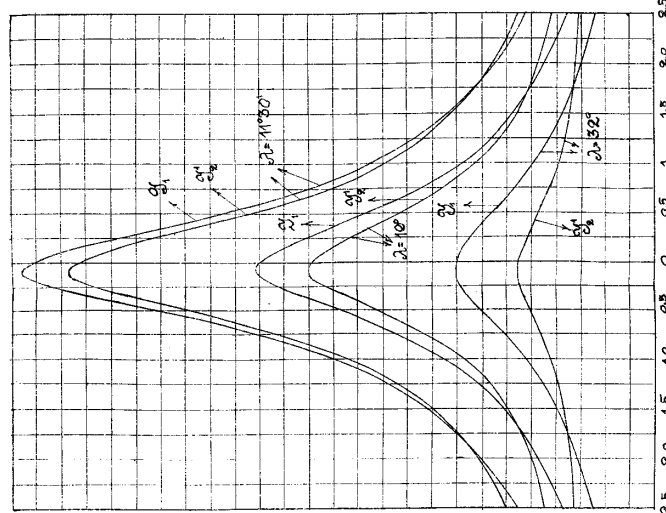


Fig. 22. Структура пересечений
(изоморфных симметрическим полиномам)
одинакового количества членов, в
которых каждое из которых имеет
 $n=1030$,
 $\alpha=10^\circ$ и $\beta=32^\circ$.

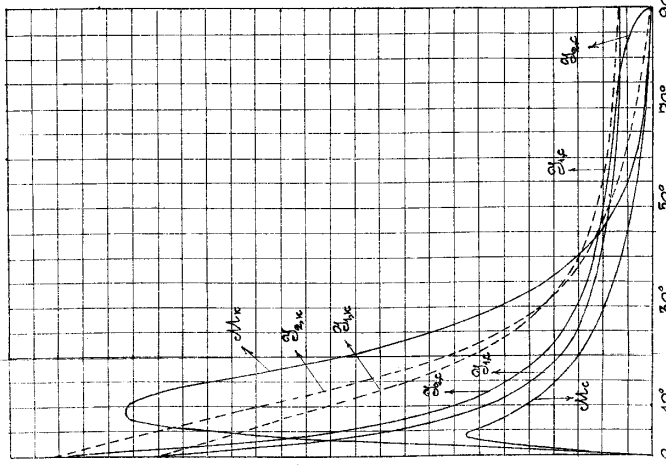


Fig. 23. Структура пересечений
изоморфных симметрическим полиномам
одинакового количества членов, в
которых каждое из которых имеет
 $n=1030$,
 $\alpha=20^\circ$ и $\beta=20^\circ$.

Графиками Р.М. Струнбаха:

Несимметричные пренормированные мономорфы:

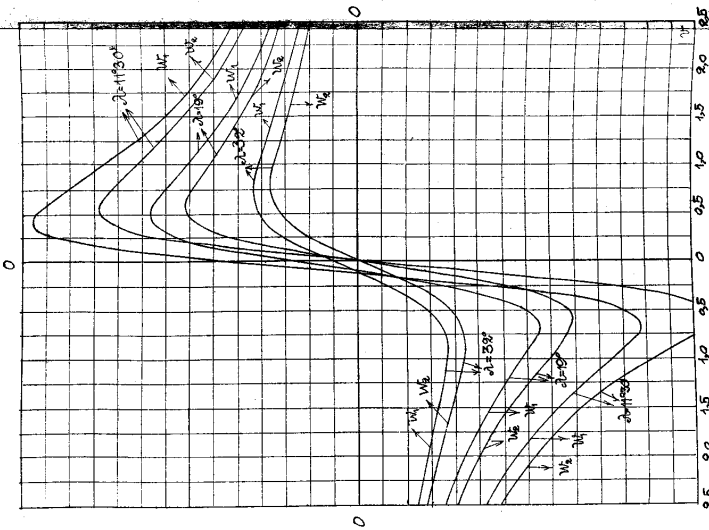


Рис. 26. Струнбаховы (M) и Бюргеровы (W₁) мономорфы в зависимости от угла α при $\beta=0^\circ$ и $\beta=90^\circ$.

иначе

иначе

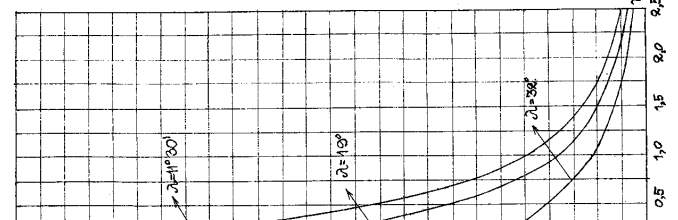


Рис. 27. Струнбаховы (M) и Бюргеровы (W₁) мономорфы в зависимости от угла α при $\beta=45^\circ$.

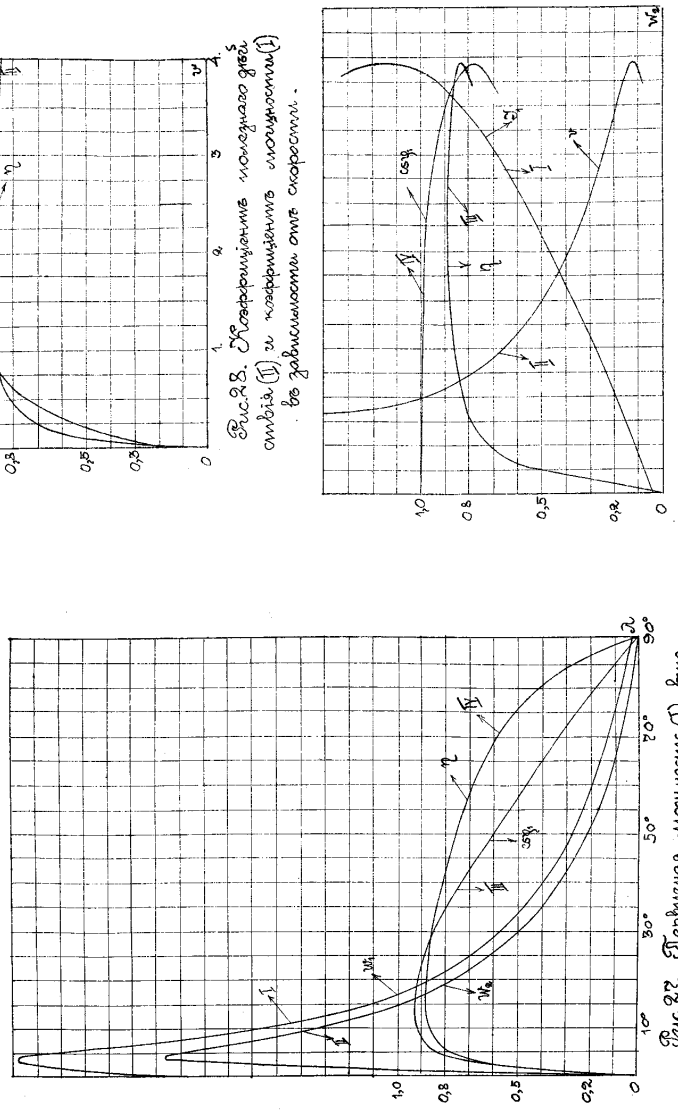


Рис. 28. Струнбаховы (M) и Бюргеровы (W₁) мономорфы в зависимости от угла α при $\beta=45^\circ$.

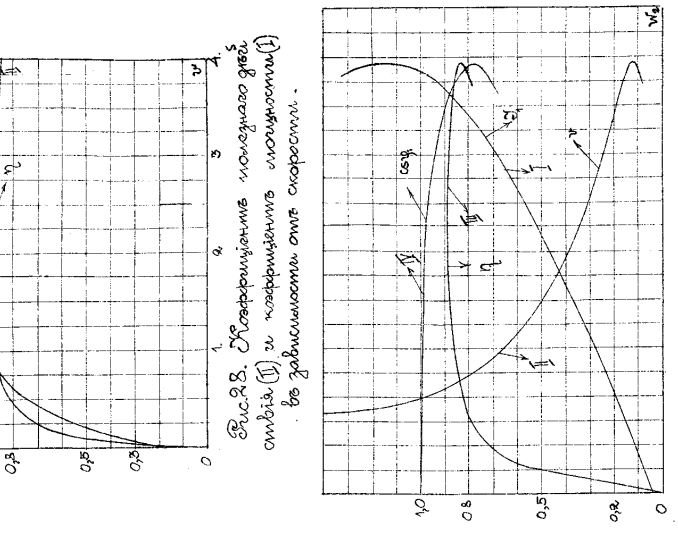


Рис. 29. Струнбаховы (M) и Бюргеровы (W₁) мономорфы в зависимости от угла α при $\beta=0^\circ$.

График IV.